



HAL
open science

Les mobiliers céramiques d'un dépotoir urbain de la première moitié du III^e siècle sur le site du " 5, place J.-B. Massillon " à Arles

Pauline Gohier, Fabrice Bigot, Guillaume Duperron

► **To cite this version:**

Pauline Gohier, Fabrice Bigot, Guillaume Duperron. Les mobiliers céramiques d'un dépotoir urbain de la première moitié du III^e siècle sur le site du " 5, place J.-B. Massillon " à Arles. David Djaoui; Marc Heijmans. Archéologie et histoire en territoire arlésien, Mélanges offerts à Jean Piton, Editions Mergoïl, pp.247-298, 2019. halshs-04676974

HAL Id: halshs-04676974

<https://shs.hal.science/halshs-04676974v1>

Submitted on 24 Aug 2024

HAL is a multi-disciplinary open access archive for the deposit and dissemination of scientific research documents, whether they are published or not. The documents may come from teaching and research institutions in France or abroad, or from public or private research centers.

L'archive ouverte pluridisciplinaire **HAL**, est destinée au dépôt et à la diffusion de documents scientifiques de niveau recherche, publiés ou non, émanant des établissements d'enseignement et de recherche français ou étrangers, des laboratoires publics ou privés.



Archéologie

Histoire Romaine 142



Archéologie et Histoire en territoire arlésien

Mélanges offerts à Jean Piton

Sous la direction de David Djaoui et Marc Heijmans



éditions mergoil



Tous droits réservés
© 2019



Diffusion, vente par correspondance

Éditions Mergel
11 rue des Fies 42000
F-42000 Couziers-la-Juive
Tél. 03 47 46 44 44
email : contact@editionsmergel.com

ISBN : 978-2-203-13091-2
EAN : 978-2-203-13091-2
Aucune partie de cet ouvrage ne peut être reproduite sous quelque forme que ce soit (photocopie, scanner ou diffusion électronique) sans l'autorisation écrite des Éditions Mergel.

Texte : auteurs
Dessin : Raphaël de Smet
Direction Artistique : David Dupuis et Marc Hermans
Logo en page de droite : Mergel
Couverture : édition Mergel
Photo de couverture : Adrien P. à sp. / CC. Accordé de Jean-Claude Lichten
Droits réservés 2019
Revue de presse : 2019
Aucun abonnement à ce livre, puisque ce livre est un livre numérique.
Photo de rabat : Yves Pignat
Requiem par : Adrien P.
Dépôt : 10/11 décembre 2019

LISTE DES AUTEURS

Jean-Paul Aubert
Chargé de relations au CNRS, Aix-Marseille Univ,
CNRS, IAD, CDR, INSA, CERFOT, Aix-les-
Bains, France.

Valérie Audouin-Pouil
Professeur Aix-Marseille Univ, Arignon Université
CNRS, IED, DMF, Marseille, France.

Sébastien Barbier
INSEP, Aix-Marseille Univ, CNRS, CCI, Aix-les-
Bains, France.

Thomas Barthe
Sachem Université, ESCD, Paris, France.

Marine Bayle
Conseillère scientifique, société A Carreaux.

Jean-Marc Bernard
Responsable du centre universitaire, Maître d'Actes.

Laurène Baudry
Néanmoins (Dialklog).

Fabrice Biquet
Chercheur associé UMREU46, ANM, CNRS,
Université Paul Valéry, Montpellier, France.

Michel Boudry
Directeur de recherche au CNRS, Aix-Marseille
Univ, CNRS, CCI, Aix-les-Bains, France.

Carine Cernus-Schayre
Archéologue préhistorique, préhistorique, Chercheur
associé au CCL, Aix-Marseille Univ, CNRS, Aix-
les-Bains, France.

Alain Charrier
Conseiller en chef de patrimoine, Musée
départemental Aube antique.

Laurier Charrier-Guyot
Prof. Univ. HD2R à l'Ecole doctorale et
postdoctorale de l'Université de Sfax, Institut de
Sciences-Géométrie de l'Association Epistémologie
Internationale.

Fabrice Drouin
Conseiller en chef de patrimoine
Directeur du musée d'histoire de Marseille.

David Djouat
Archéologue territorial au musée départemental
Aube antique, Chercheur associé au CCL, Aix-
Marseille Univ, CNRS, Aix-les-Bains, France.

Alain Dupuis
Spécialité, Tricastrum, Aix-Marseille Univ,
CNRS, CCI, Aix-les-Bains, France.

Guillaume Duperron
Site Agropolis multimédia, service archéologie
patrimoine / chercheur associé UMREU46, ANM,
CNRS, Université Paul Valéry, Montpellier,
France.

Isabelle Espagnol
INRA, INRA, Université de Montpellier, CNRS,
IRD, EPHE, CIRAD, INRAE.

Danièle Fey
Directeur de recherche, Institut au CNRS, Aix-
Marseille Univ, CNRS, CCI, Aix-les-Bains,
France.

Vianelli Cappello-Bella
Chargé de recherche au CNRS, Aix-Marseille Univ,
CNRS, CCI, Aix-les-Bains, France.

Alain Gerve
Archéologue territorial au Musée départemental
Aube antique.

Pauline Guérier
Chercheur associé au laboratoire ArM (UMR5118,
Lyon).

Fabrice Guibal
Chargé de recherche au CNRS, Aix-Marseille Univ,
Arignon Université, CNRS, IED, BDR, Marseille,
France.

Sandra Guet
Directrice, Chercheur associé au CCL, Aix-Marseille
Univ, CNRS, Aix-les-Bains, France et au IRE-
Aix-Marseille Univ, Arignon Université, CNRS,
IRD, IRIS, Marseille, France.

Marie Huguier
Directeur de recherche au CNRS, Aix-Marseille
Univ, CNRS, CCI, Aix-les-Bains, France.

Dalgrès Isabelle
Chargé de recherche au CNRS, Aix-Marseille
Univ, CNRS, CCI, Aix-les-Bains, France.

Caroline Landon
 INRAE, INRAE, Service Régional de l'Archéologie, Aix-Marseille Univ, CNRS, CCJ, Aix-en-Provence, France

Suzanne Lang Devignon
 INRAE, Aix-Marseille Univ, CNRS, CCJ, Aix-en-Provence, France

Juliette Langlais
 Centre de Recherche et de Restauration des Monuments et de France (C2RMF), Ecole des Hautes Études, Paris, France

Nicolas de Laugier
 Conservateur du patrimoine, Musée départemental AdF, Arles

Agès Lamant-Durieux
 Centre de Recherche et de Restauration des Monuments et de France (C2RMF), Ecole des Hautes Études, Paris, France

Philippe Leveau
 Directeur adjoint d'Archéologie Méditerranée, Aix-Marseille Univ, CNRS, CCJ, Aix-en-Provence, France

Luc Long
 Conservateur en chef du patrimoine au DRASSM, chercheur associé EMES/40, ASM, CNRS, Université Paul Valéry, MCC, Montpellier, France

Sabrina Maffei
 Archéologue associée au musée départemental AdF, Arles, chercheur associé au CCJ, Aix-Marseille Univ, CNRS, Aix-en-Provence, France

Élodie Marie-Kobuszky
 Archéologue, méditerranéenne, associée Conservatoire du Littoral, Chercheur associé au CCJ, Aix-Marseille Univ, CNRS, Aix-en-Provence, France

Fabrice Marry
 Archéologue, méditerranéenne, Méditerranée, Aix-Marseille, Directeur / Enseignant, Aix-en-Provence / PIA, Conservatoire du Littoral

Fabienne Médard
 Secrétaire, Laboratoire d'analyse des vestiges archéologiques

Philippe Millonand
 INRAE, Aix-Marseille Univ, CNRS, CCJ, Aix-en-Provence, France

Tomasz Mikulaj
 Ingénieur d'études au CNRS, Aix-Marseille Univ, CNRS, CCJ, Aix-en-Provence, France

Pierre Müller
 Préhistorien, Aix-Marseille Univ, Directeur du Centre Interdisciplinaire de Neurosciences de Marseille, Aix-Marseille Univ, CNRS, C2RMF, Marseille, France

Mungui Nour
 Préhistorien et chercheur à l'Université de Sfax, membre du laboratoire FREG, Tunisie

Cécile Paschke
 Département of Earth Sciences, Johannes Gutenberg University, 50999 Mainz, Germany

Richard Pélissier
 INRAE, IRAD, Aix-Marseille Univ, CNRS, Aix-en-Provence, France

Fabrice Reynaud
 DRM, CERAM, UMR 5044, CNRS/Université de France (C2RMF), Ecole des Hautes Études, Paris, France
 Lyon 2 – EHES – ENS de Lyon – Université d'Angers et des Pays de la Loire – Université Lyon 3

Dolphin Roman
 Archéologue, chargé d'enseignement de recherche, SCOP Ipeo, Aix-Marseille

Rémi Roux
 Aix-Marseille Univ, CNRS, CCJ, Aix-en-Provence, France/Université de Sfax, FREG, Tunisie

Françoise Roy
 Directeur de la Mission Gabriel Roy à Saint-Ardoul, des Baux-de-Provence

Catherine Richard
 INRAE, C2RMF, UMR 5648, CNRS Université Lyon 2 – EHES – ENS de Lyon – Université d'Angers et des Pays de la Loire – Université Lyon 3

Esté Renil
 Chercheur de recherche au CNRS, UMR 5099, UMR51, chercheur associé au Musée national de la Marine

Philippe Rigaud
 Historien, chercheur associé au LAM, Aix-Marseille Univ, CNRS, Aix-en-Provence, France

Laurine Rivet
 Chargée de recherche associée au CNRS, Aix-Marseille Univ, CNRS, CCJ, Aix-en-Provence, France

Marie-Pierre Robin
 Archéologue associée au musée départemental AdF, Arles, Chercheur associé au CCJ, Aix-Marseille

Unité CNRS, Aix-en-Provence, France.

Lionel Beau
Architecte ingénieur au CNRS, Aix-Marseille Univ.
CNRS, CEJRI/AMM, Aix-en-Provence, France.

Sylvie Sauter
Chercheur associé au CCL, Aix-Marseille Univ.
CNRS, Aix-en-Provence, France.

Claude Simeas
Laboratoire en chef de paratextes, Incentive,
Météo départemental, Aéro météor, chercheur
associé au CCL, Aix-Marseille Univ., CNRS, Aix-en-
Provence, France.

Gil Sornath
Department of Earth Sciences, Johannes Gutenberg
University, 55099 Mainz, Germany.

Richard Sponner
Université de Lorraine.

Margot Tillier
Géographe, MAM, CNRS, Université Paul Sabatier,
MFC, Montpellier, France ; IRM, Institut de
Science de l'Environnement (ISRE 555), CNRS/UMI
IRIVP/PHI-IN/IGAP.

Solène Toussaint
Responsable du service de conservation au Musée
départemental d'Arts et d'Archéologie.

Jean-Christophe Triglia
Ingénieur d'étude au CNRS, CEI/AM, UMR 5648,
CNRS Université Lyon 2 - IUTIS - ENS de Lyon
- Université d'Égypte et des Pays du Golfe -
Université Lyon 3.

Philippe de Viviois
Société Algérie pour l'étude cartographique de
dix.

11	Préfaces	187	La fouille du site au « 5, place Jean-Baptiste Massillon » à Arles
	Jean Pison / <i>acteur et maître de l'évolution de l'archéologie arlésienne</i>		Après un an de la ville antique au boulevard de Babar
	Renaud KETTEL		Déjà... SOMMEL, Marc FERRASSIN, Fabrice BOUTIER, F. L.
17	Jean, médiateur avant tout		
	Fabrice DENISE		
19	Avant propos	247	La médaille céramique d'un dépense urbain de la première moitié du III^e siècle sur le site du « 5, place J.-B. Massillon » à Arles
	Évaluation de l'archéologie urbaine arlésienne : présentation et historique		Fabrice GONZALEZ, Lucie RIGOUT, Guillaume DUPLESSIER
	Marc-Pierre RUFFRE, Marc FERRASSIN		
53	Introduction	299	Des « bols de Némes » à Arles
	Dominique ESCOFFIER, Marc FERRASSIN		Une production méconnue de céramique à pâte blanche cuite en nord de la France
			Empire dans le triangle low-occupation
			Sébastien BURELON, David FERRON
59	Elge du Fer à Arles	323	Nouveaux médaillons d'applique du site de la Venerie à Arles
	Martin Gouin		Lucie RUFFRE, Marc FERRASSIN, David FERRON
	Édith MARTEL-KOMBERGER		
103	L'analyse dendrochronologique des planches de fondation de cirque d'Arles	329	Un goblet à décor incisé de glabrieux
	Fabrice GONZALEZ, Claude SPITTS		Alain GONZALEZ, Sébastien BURELON, David FERRON
111	Les mosaïques de Barthélémy, 88 ans après la fouille de F. Benoit	335	Des boules et des lampes
	L'appartenance de la géométrie des carreaux		Les techniques des artisans grecs observées sur les lampes des fouilles d'Arles-Babine 3
	Philippe FAYOL, Lucie RUFFRE, Guillaume DUPLESSIER		Lucie RIGOUT, David FERRON
141	Les mosaïques colorées du cirque romain d'Arles	343	Un Pith-Pelique perdu dans le Rhône
	Dominique ESCOFFIER		Alain CHARRIER
173	Observations sur la céramique romaine à Arles au moment de sa mise au jour	349	Remarques préliminaires sur les figurines en terre cuite d'Arles
	Yves GUYON, Sébastien BURELON		Alain CHARRIER, Fabrice GONZALEZ, Sébastien BURELON, David FERRON

355	Mosaïques mérovingiennes découvertes dans le Rhône en 2009 Lucrèce THETELLE	621	Les verres médiévaux du Musée départemental d'Alsace Danièle TUD
361	Quelques observations sur l'Évangélisme de l'île de l'Épave à Ales (Bouches-du-Rhône) Rita BONICA	629	L'opère <i>Map of Asia</i> de Galois de Lioraine - (1714) Un chargement pour les Sédicelles, négociants venus à Marseille Luc LUNIC
399	Traces commentées et production d'amplores à Ales sur l'île de l'Épave, nouvelles données sur le dépôt subaquatique de quel de la Cabelle (site d'Alès du Rhône, zone 600-500) Fabrice BIGOT, Guillaume DUTERRON, Luc LONG	647	Saint-André-de-Raméon, près de Grignan Démocrate du dernier évêque d'Orange, M ^{re} Guillaume Louis de Tillat Luc LONG, François REY
349	L'opère Ales-Bhône 5, un nouveau chaland gallo-romain Nolva MARBER, Sébastien LUC, Pascal DUPONT, Hugues de VIVES et Albert VALL, François de CHATEL, Fabrice BIGOT, Vincent ANDRIEU-PONCE, Raphaël LEBLANC, Fabrice LANGUARD, Céline CHAZAN-SAUVERE, Margot VERLIER, Yveline	659	Fishes, Fishes, Fishes Note sur quelques genres méditerranéens, modernes et contemporains des collections archéologiques Jean-Christophe TEFELI et la collaboration de Fabrice BIGOT
495	Trinquetaille et le saucier de la gare Martinière Philippe MULLINAND, Thomas LANG, Dorothea NADL, Frédéric RICHARD, Richard PELLE	671	Anthoine Bovi, un ingénieur militaire alsacien (1864) - H&D Les fortifications de Trinquetaille et autres ouvrages Philippe BIGAUD
551	Mise en bière, mise en bière en pot ? Amplores et autres objets en céramique en bière fabriqués à travers quelques exemples méridionaux (IV ^e - VIII ^e s.) Gabrielle RICHETTE, Frédéric KATNAUD	684	Découverte de peintures murales antiques de la seconde guerre mondiale dans une maison à Ales (Bouches-du-Rhône) Frédéric MARTY
589	Premières données sur le trafic érotique et les échanges commerciaux dans l'antiquité romaine portuaise de la Méditerranée (Ales) dans le premier moitié de VI ^e siècle Guillaume DUTERRON, Gabriel FANDELLE	689	Le chantier de reprise de la domus scientifique au MDA Assistance scientifique préalable à l'inauguration des travaux Sébastien THOMAS
593	Signifier africain - continental - au Musée départemental d'Alsace Michel BONVAL, Thomas MULLINAND, Jean-Christophe TEFELI, Jean-François THOMAS	693	Les poteries premières et néolithiques ? Pierre THILLER
623	Travaux de fouilles archéologiques de VI ^e siècle sur le site de l'Épave à Ales Guillaume DUTERRON, Max HEDMANS	699	Le bailli de l'Empereur Jean-Marie DENARD

1) Archéologie et Histoire en territoire alsacien

INTRODUCTION

À la suite de sondages réalisés en 2009 dans les
Laines (un ancien atelier du XVIII^e s. situé
au 5, place Jean-Baptiste Massillon dans le quartier
du Mirail à Arles) (Fig. 1), a été découverte suite à
la mise au jour des travaux de sondage arché-
ologiques réalisés en 2010. Grâce aux la-
gements effectués par le service (SNAIS - CC), cette
opération a permis de constater un état de sur-
face de 180 m² et a livré des résultats d'une grande
importance pour la connaissance de cette partie de
la ville antique (cf. Gosnell et al., dans ce vol).

Le site est localisé à une quarantaine de mètres
de la zone archéologique dite « du Mirail », au centre de la
ville antique. Elle est également située à environ 20 m
au sud-ouest du forum et à quelques dizaines de
mètres de l'un des deux ports de bateaux dont deux
équipés la cité romaine.

Les principales vestiges archéologiques mis
au jour correspondent à une double série d'axes
muraux en grand appareil (Fig. 2). Le
développement des fondations sur une longueur de
près de 10 m, parallèlement au 13 de Reure. La
démolition et un remblaiement ont permis de constater
mais les contextes stratigraphiques permettent



Figure 1. Arles (1) - Rue Massillon, Vue de l'est-est (Plan
P. Gosnell, GOSSEL)

permettre d'identifier au moins dix dépôts de crues,
entre autres, stratigraphie des niveaux antérieurs
conservés dans les dépôts. Les contextes les plus
antérieurs correspondent principalement à des
niveaux de crues liés à l'époque romaine et
du III^e s. (Digne, Dupuy et al., dans ce volume).



Pour mieux appréhender les résultats du faciès céramique au sein de dépôts tels que le dépôt III, il est nécessaire de les replacer dans un contexte plus large. Les données archéologiques et les données géométriques, ainsi que les données géométriques, sont donc présentées ci-dessous, ainsi que les données géométriques de ce dépôt.

1.1. La phase ga

Les niveaux de la phase ga ont été plus de 200 fragments de céramique correspondant au minimum à 60 individus (Fig. 4). Les céramiques culinaires et communes sont les mieux représentées avec près des deux tiers du total des individus. Les céramiques fines arrivent en deuxième position avec 19%, devant la argonne (14% du mobilier) et une douzaine de lampes (2,5% du mobilier).

1.1.1. La céramique fine

On recense un grand nombre d'importations différentes pour le matériel de table (Fig. 5). La sigillée africaine arrive en tête avec près de 10% des céramiques fines. On note aussi la présence de deux fragments de céramique corinthienne à décor animal, six céramiques gallo-romaines à décor animal, de deux céramiques italiques et de quelques formes plus exotiques, de provenances diverses. Cependant, c'est la sigillée d'Égypte qui domine en termes de quantité, avec 70% de la céramique fine. La sigillée paléochrétienne de Mésopotamie arrive en deuxième position.

1.1.1.1. Les importations

Céramique « corinthienne »
La céramique « corinthienne » est représentée par

Le fait qu'il s'agit de pièces de table, datées de la fin du IIIe siècle, est attesté par la présence de fragments de céramique fine, datés de la fin du IIIe siècle, et de la présence de fragments de céramique fine, datés de la fin du IIIe siècle.

Il s'agit de pièces de table, datées de la fin du IIIe siècle, et de la présence de fragments de céramique fine, datés de la fin du IIIe siècle.

Catégorie	Forme	Typologie	NMI	Planches	
Céramique « cochléacène »	Craque	Mullitzer 1	1	Fig. 6, n° 1	
		Ind.	1		
Sigillos africains A	Craque	Hayer 6	3	Fig. 6, n° 2-4	
		Hayer 6A	1	Fig. 6, n° 5	
		Hayer 6B	1		
		Hayer 14	1	Fig. 6, n° 6	
Sigillos africains A-D	Ind.	Hayer 13	1		
		Ind.	1		
Sigillos africains D	Pâte	Hayer 10-7	1		
		Ind.	1		
Céramique néolithocène	Goblet	Symonds 5	1	Fig. 6, n° 7	
		Nim 11	1	Fig. 6, n° 8	
Céramique à glaucure rhodézienne	Craque	Gilber 1.5.1	1	Fig. 6, n° 11	
		Goblet	Ind.	1	
		Craque	Ind.	2	
		Freche	Gilber 10.3	1	Fig. 6, n° 10 et 12
Sigillos indigènes	Pâte	Drag. 18	2	Fig. 7, n° 1-2	
		Craque	Drag. 11 ou 11	1	Fig. 7, n° 3
		Ind.	3	Fig. 7, n° 4-6	
		Craque	Ind. 059	1	Fig. 7, n° 6
Sigillos de Corée de la Grande	Pâte	Ind. 1	7	Fig. 7, n° 7 à 12 ; fig. 8, n° 1	
		Desh. 1 ou 2	1	Fig. 8, n° 2	
		Desh. 2 ou 3	10	Fig. 8, n° 3-8	
		Craque	Desh. 3	5	Fig. 8, n° 9-11
		Desh. 20	2	Fig. 8, n° 13-15	
		Goblet	Desh. 66	11	Fig. 8, n° 13-16
	Craque	Desh. 50 ou 68	2	Fig. 9, n° 1 et 9	
		Desh. 69	1	Fig. 9, n° 2-8	
		Desh. 60-70	1	Fig. 9, n° 4	
		Desh. 71	1	Fig. 9, n° 5	
		Desh. 82-3	1	Fig. 9, n° 8	
		Craquech.	Desh. 4 ou 5	2	Fig. 9, n° 6
Céramique à pare-éclat	Goblet	Ind.	20	Fig. 9, n° 7 et 10 à 12	
		Ind.	3		

Figure 7. Atlas 15, planches. Planes de données typologiques des collections de Corée.

un fragment de fond de type indolent et par un bord (Fig. 6, n° 1) de type Méditerranée (Méditerranée 2007, p. 39). Le disque figure une scène de combat d'homme et de cheval (Méditerranée 2007, p. 104). Cette scène est entièrement conservée sur un exemplaire observé à Jambou (Braz 1981, p. 5). Deux autres, vues de profil, sont l'une au site de Tarnac. Celle de gauche est légèrement penchée en avant et tient une calebasse au col et une au centre de la scène. Le fond est composé d'un réseau et porte une courbe. Longtemps considérée comme une production étrusque, cette étrigone est attribuée aux archaïques dans la Fa du II et le début du III^e s. (Méditerranée 2007, p. 153).

Figures africaines

La sigille africaine A est représentée par sept individus. Un identifié avec exemplaire du type Hayes et (Fig. 6, n° 1, 4 et 5), deux autres à la fin du II et la fin du I^{er} s. (Hayes 1972, p. 282-83). Le fragment Hayes 64 est associé par son motif (Fig. 6, n° 5) correspondant à la variante Tarnac. Il date de la seconde moitié du II^e s. (Bocfel 2004, p. 156). Une coupe à fond droit Hayes 148 (Fig. 6, n° 8) est caractéristique de la première moitié du III^e s. (Braz, 1991, 2010, quelques fragments au musée de la province de Tarnac, dans Hayes 123, dans la Fa et du début du III^e s. (Hayes 1972, p. 276).

L'empire méridional

La présence de deux étrigones méditerranéennes est assez exceptionnelle. Cette production, issue de nombreux autres de cette époque, est de la fin du II et du début du III^e s. (Cuvier et al. 1999). Elle est associée à la variante Tarnac. Elle est caractéristique de la fin du II et du début du III^e s. (Hayes 1972, p. 282-83). Elle est associée à la variante Tarnac. Elle est caractéristique de la fin du II et du début du III^e s. (Hayes 1972, p. 282-83).

Le premier étrigone (Fig. 6, n° 7) porte sur la partie supérieure un motif de type méditerranéen. Il est associé à la variante Tarnac. Il date de la fin du II et du début du III^e s. (Hayes 1972, p. 282-83).

Il s'agit d'un fragment de fond de type indolent et par un bord (Fig. 6, n° 1) de type Méditerranée (Méditerranée 2007, p. 39). Le disque figure une scène de combat d'homme et de cheval (Méditerranée 2007, p. 104). Cette scène est entièrement conservée sur un exemplaire observé à Jambou (Braz 1981, p. 5). Deux autres, vues de profil, sont l'une au site de Tarnac. Celle de gauche est légèrement penchée en avant et tient une calebasse au col et une au centre de la scène. Le fond est composé d'un réseau et porte une courbe. Longtemps considérée comme une production étrusque, cette étrigone est attribuée aux archaïques dans la Fa du II et le début du III^e s. (Méditerranée 2007, p. 153).

Le second exemplaire (Fig. 6, n° 8)

Il s'agit d'un fragment de fond de type indolent et par un bord (Fig. 6, n° 1) de type Méditerranée (Méditerranée 2007, p. 39). Le disque figure une scène de combat d'homme et de cheval (Méditerranée 2007, p. 104). Cette scène est entièrement conservée sur un exemplaire observé à Jambou (Braz 1981, p. 5). Deux autres, vues de profil, sont l'une au site de Tarnac. Celle de gauche est légèrement penchée en avant et tient une calebasse au col et une au centre de la scène. Le fond est composé d'un réseau et porte une courbe. Longtemps considérée comme une production étrusque, cette étrigone est attribuée aux archaïques dans la Fa du II et le début du III^e s. (Méditerranée 2007, p. 153).

Céramique à glaire plombifère

Les étrigones à glaire plombifère sont caractéristiques de la fin du II et du début du III^e s. Elles sont associées à la variante Tarnac. Elles sont caractéristiques de la fin du II et du début du III^e s. (Hayes 1972, p. 282-83).

Le premier étrigone (Fig. 6, n° 7) porte sur la partie supérieure un motif de type méditerranéen. Il est associé à la variante Tarnac. Il date de la fin du II et du début du III^e s. (Hayes 1972, p. 282-83).

Il s'agit d'un fragment de fond de type indolent et par un bord (Fig. 6, n° 1) de type Méditerranée (Méditerranée 2007, p. 39). Le disque figure une scène de combat d'homme et de cheval (Méditerranée 2007, p. 104). Cette scène est entièrement conservée sur un exemplaire observé à Jambou (Braz 1981, p. 5). Deux autres, vues de profil, sont l'une au site de Tarnac. Celle de gauche est légèrement penchée en avant et tient une calebasse au col et une au centre de la scène. Le fond est composé d'un réseau et porte une courbe. Longtemps considérée comme une production étrusque, cette étrigone est attribuée aux archaïques dans la Fa du II et le début du III^e s. (Méditerranée 2007, p. 153).

Le second exemplaire (Fig. 6, n° 8)

Il s'agit d'un fragment de fond de type indolent et par un bord (Fig. 6, n° 1) de type Méditerranée (Méditerranée 2007, p. 39). Le disque figure une scène de combat d'homme et de cheval (Méditerranée 2007, p. 104). Cette scène est entièrement conservée sur un exemplaire observé à Jambou (Braz 1981, p. 5). Deux autres, vues de profil, sont l'une au site de Tarnac. Celle de gauche est légèrement penchée en avant et tient une calebasse au col et une au centre de la scène. Le fond est composé d'un réseau et porte une courbe. Longtemps considérée comme une production étrusque, cette étrigone est attribuée aux archaïques dans la Fa du II et le début du III^e s. (Méditerranée 2007, p. 153).

Céramique à glaire plombifère

Les étrigones à glaire plombifère sont caractéristiques de la fin du II et du début du III^e s. Elles sont associées à la variante Tarnac. Elles sont caractéristiques de la fin du II et du début du III^e s. (Hayes 1972, p. 282-83).

Le premier étrigone (Fig. 6, n° 7) porte sur la partie supérieure un motif de type méditerranéen. Il est associé à la variante Tarnac. Il date de la fin du II et du début du III^e s. (Hayes 1972, p. 282-83).

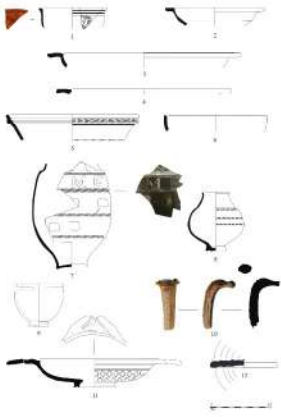


Figure 1. Aerial view of the building facade, Plan No. 1, 2, 3, 4, 5, 6, 7, 8, 9, 10, 11, 12, 13. (Left: elevation A, 1, 2, 3, 4, 5, 6, 7, 8, 9, 10, 11, 12, 13; right: elevation B, 1, 2, 3, 4, 5, 6, 7, 8, 9, 10, 11, 12, 13)

On figure 1, the aerial view of the building facade is shown. The building facade is shown in the plan view (left) and in the elevation view (right). The building facade is shown in the plan view (left) and in the elevation view (right).

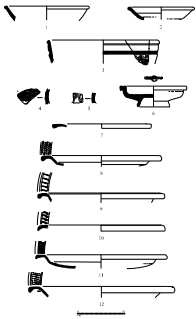


Figure 1. Achse 4, place Moduler, Place No 57, 1 à 1 : sigilhos vol pão de açúca; 2 à 6 : sigilhos do Carrão de la Cadeira; 7 à 12 : sigilhos Carrão 4, 5, 6, 7, 8, 9, 10, 11, 12.

plastic types de voas en sigilho Chair 9 qui sont généralement ceux d'un ou plusieurs matelassés d'apôles. Deux exemplaires (Fig. 9, n° 2 et 3) sont proches du type Dsch 06. Leur forme est la plus courante pour les usages matelassés d'apôles. Elle est connue à l'échelle de l'océan Atlantique (ibid., p. 313). Un exemplaire (Fig. 9, n° 4) peut probablement être attribué au type Dsch 087A, qui apparaît dans la collection d'osier de la fin du 19^e et au début du 20^e s. (ibid., p. 312). Le type Dsch 71 est représenté par un individu

(Fig. 9, n° 5) assez semblable à ceux découverts à l'échelle de l'océan Atlantique (ibid., p. 313). Deux exemplaires sont également présents dans cette phase 1e et 9^e (Fig. 9, n° 6 et 7) proches du type Dsch 4, et dans d'autres de l'océan Atlantique (ibid., p. 313). Les identifications de quelques formes restent incertaines (Fig. 9, n° 7 à 12). Le n° 7 pourrait correspondre au type Dsch 087A, qui apparaît dans la collection d'osier de la fin du 19^e et au début du 20^e s. (ibid., p. 312). Le n° 8 correspond à un fond matelassé avec un pied

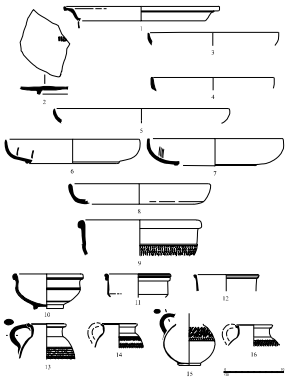


Figure 7. Glass transoms, Phase 10, Sgl Eco Class 2, Sub. 1/3, View at 100° E-Glass

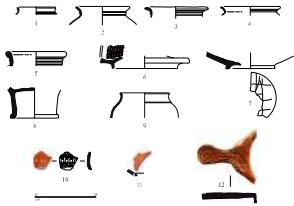


Figure 9. Atlas 1. Plate Macleod. Photo by Agathe Claret D. DA. I.D. Dessin et 2007/7/Gerlan

d'une hauteur assez importante. Un exemplaire sans pied a été exhibé à l'ère qui le dit de la plate des Célestes dans un ensemble daté du III^e (Dessin et al. 2005, fig. 4, n° 9). Il pourrait s'agir du fond d'un vase de grande dimension proche de ceux peints à Saint-Vrain (Dessin et al. 2002, fig. 13). La crénature est probablement volontaire. Le pied a été apparemment réutilisé en tant que petit pot ou support. Un autre exemplaire (n° 9) pourrait se rattacher au type 50, peints aux III^e et IV^e (Dessin et al. 2005). Nous avons donc un fragment de pied à terre même sans semblé à. Écrite forme ouverte (n° 10) parmi le type 104. Le dessin est le même que celui qui est en creux de plat ou de plateau. Ce dessin pourrait être associé à une partie de type 1000 (Dessin et al. 2005, une forme trace de la sigille gauloise qui correspond à la plaque avec ce caractère en deux autres vases (Dessin et al. 1972, p. 170). Ce exemplaire possible en couleur d'antennaire. Enfin, un modèle de pied à terre sans pied (Dessin et al. 2005, une forme) a été trouvé et sur le site, sans doute réalisé au potier. Les lignes ont peut-être été dessinées directement dans l'argile.

1.2. La céramique culinaire et commune
Les céramiques culinaires et communes forment le groupe le plus important puisqu'elles représentent près de 60 % du matériel total d'habitat (Fig. 10). La majorité des objets appartient aux productions africaines (55 %) de la céramique culinaire et commune. Les céramiques végétales constituent plus d'un tiers de ce groupe.

1.2.1. Les importations
Culinaire orientale
Nous avons regroupé sous l'appellation « céramiques culinaires orientales » tout l'ensemble des objets qui ont des productions originaires de ces lieux (Fig. 11, n° 1 à 8) et dont ce la région du Levant (Fig. 11, n° 7 et 8). Le premier groupe est essentiellement composé de jarres les ont de narbonne de formes variées par type 2 (Fig. 11, n° 1 à 3) et surtout type 7 (Fig. 11, n° 4 à 6) (Dessin et al. 2005, fig. 5, n° 5a-b, fig. 7, n° 7a-b). Ces deux formes sont les plus fréquentes et généralement ornées avec la fin de l' et le milieu du III^e, mais elles sont plus rares sur les sites du sud de la Gaule (Garny 2004, p. 117-119). Elles sont associées

Categorie	Evene	Typologie	NMI	Planche
Cultures africaine	Plu à carter	Hoxes 21A	4	Fig. 11, n° 2-7
		Hoxes 21B	10	Fig. 11, n° 13 Fig. 12, n° 1-6
		Hoxes 21	12	
	Mammif	Hoxes 181	2	Fig. 12, n° 7-8
		Hoxes 190 - Oms 1, 2/3	1	Fig. 12, n° 9
		Hoxes 197	40	Fig. 12, n° 10-21; Fig. 23, n° 1-2
Couverts	Hoxes 196	100	Fig. 13, n° 4-8	
Commune italique	Plu à carter	Hoxes 195	2	Fig. 13, n° 9-10
		Gouf 13	2	Fig. 14, n° 1
		Couverts	1	Fig. 14, n° 2
Commune orientale	Mammif	Couverts 2	3	Fig. 11, n° 1-3
		Couverts 1	3	Fig. 11, n° 4-6
		Int.	2	Fig. 11, n° 7
		Gobelet	1	Fig. 11, n° 8
Oxydant mince	Plu	CODGM C3	2	Fig. 14, n° 14-15
	Une	CODGM a4	4	Fig. 14, n° 16-18
	Mammif	CODGM B1	1	Fig. 14, n° 19
Commune à capot mince	Gobelet	CODGM A1	1	Fig. 14, n° 13-1
		Int.	1	
Boue proventrale	Gobelet	Nu 5 800	1	Fig. 14, n° 10
		Nu 5 500	1	Fig. 14, n° 11
		Couverts	Nu 7000	1
Subasse brux rhodarienne	Mammif	Une	4	Fig. 15, n° 12-13 a 12
		Couverts	1	Fig. 15, n° 2
		Mammif	1	Fig. 15, n° 16
		Participation	1	Fig. 15, n° 14
Subasse rhénane	Mammif	Une	9	Fig. 15, n° 1-4, 6- 7
		Couverts	1	Fig. 15, n° 1
		Mammif	1	Fig. 15, n° 5
		Int.	3	
		Une	1	Fig. 14, n° 9
Kachilique	Gouf	KAGL 21	1	Fig. 14, n° 9
		Int.	16	Fig. 14, n° 9
		KAGL 14	2	
		Plu	Nu 8	1
Mammif	Nu 6 ou 7 - CL	800, 104 1 1	1	

Pâte claire	Port de charbon	CL-REC Page 10	23 / 6	fig. 13, n° 245
	Coupe	CL-REC 13/14/15	1	fig. 16, n° 7
	Brûlé-petit	CL-REC 15/16	5	fig. 16, n° 7-11
	Cuivre-rouge	Ind.	1	
		CL-REC 18/19	2	fig. 16, n° 8-9
	Orbelle	CL-REC 19	1	fig. 17, n° 4
	Cruche	CL-REC 1 ou 2 / 11	11	fig. 17, n° 1-3
		Page 31		
		CL-REC 36 / 3	3	fig. 16, n° 13-14
		Ind. 37		
	Amphoène	CL-REC 9	9	fig. 16, n° 11, fig. 17, n° 5
		Ind.	1	fig. 17, n° 5
	Ind.	1		
	Ind.	1		
Dents Orange (Barrême) (R.G.B)	Même	B1	1	fig. 16, n° 7
	Ind.		1	
Culinaire micado variée	Plat à cuire	Rivet 6 ou 7	1	fig. 14, n° 3
	Même	Rivet 12 ou 15	3	fig. 14, n° 5-6
	Ind.	2		
Culinaire indéchirable	Ind.		20	

Figure 10. Ache / 1. L'aché-Madon. Plus la dénomination typologique des céramiques anciennes.

à Marseille dans un contexte daté de la fin du II^e s. (Garcé et al. 1996, fig. 82, n° 77-79). F. escarpé, n° correspond à une tige à anneau du colage par type 2, dont la présence est également signalée à Marseille (Vallée 1996, p. 24). Sa fabrication de graine avec une zone (Fig. 11, n° 7) présente une pâte assez dure de composition calcaire blanche (figure 11, comparée à celle des productions locales). L'ornementation correspond probablement au fond. Les motifs ornent ou décorent également les parois et les fonds. Plusieurs exemplaires similaires sont connus à Arles (Délégation 2009, fig. 11 et tabl. 1, Delplan et al. 2012, fig. 33, n° 7), de même qu'à Arles. La composition de la pâte est proche de celle des amphoènes levanites (cf. table).

Culinaire à décanter. La dénomination officielle de catégorie B. Les céramiques calcaires aléatoires de catégorie A. produites en Béziers, apparaît à côté au fond de

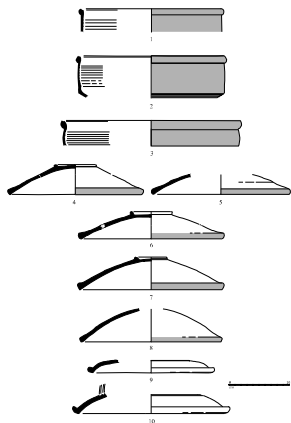


Figure 10. Arches 2, plus Modèles, Phase 2c. Construction of houses in France, C. Del., 175. Drawn in 2007 by Gordon.

des monnaies généralement jusqu'à présent. Cette origine est attestée principalement à la majeure partie des céramiques culinaires en Provence occidentale entre l'époque laurienne et le fin de l'IP a (Nau 2001, Haquet et al. 2012).

Dans cette thèse, elle est représentée par un pot à soufre (Fig. 14, n° 189) correspondant au type Nis 5.400 (Nis 2003), et plus précisément à la sous-catégorie Nis 5.420 qui regroupe les pot-gobolaires à col court. Cette forme est signalée à Marseilles-Provence dans le contexte du IP a (Gidel, p. 213). Un autre exemplaire (Fig. 14, n° 14) est semblable au type Nis 5.300. Il s'agit d'un grand pot à bords déversants, probablement associé, pour sa conception, à une forme à anses de type (Gidel, p. 219). Cette forme rendra des le début du IP a (Gidel) jusqu'à début du III a (Gidel, p. 249).

Commune oxydante minuscule à engobe minuscule
La céramique commune à engobe minuscule est attestée par deux individus. Cette production de la moyenne-valée du Rhône (Dieffler, Ravaud 1998, p. 387 ; Galles 2016, p. 19 et 30) est associée vers le milieu du IP a. Elle est représentée dans ce contexte par deux vases (Gidel, M et A) (Fig. 14, n° 12 et 13), ainsi que le milieu du IP a, et celui du III a (Ravaud 1998, p. 391).

Issue de la même zone de production, la céramique commune oxydante minuscule est documentée par sept individus. Deux exemplaires (Fig. 14, n° 14 et 15) sont des plats à cuire de type CCN3b-1 et C, principalement attribués au III a (Galles 2013, p. 19). On compte également quatre vases de type CCN1 (M et A) (Fig. 14, n° 16 et 18), probablement le plus large et le plus diffus de cette catégorie (Gidel, p. 186), ainsi que parfois, comme c'est le cas (Fig. 14, n° 19) se rapproche de type CCN3b-1E, dans une sub-catégorie minuscule du IP a et le milieu du III a (Dieffler, Ravaud 1998, p. 381) (Gidel, p. 394).

Salle d'assemblée
La céramique commune à engobe brune ou rougeâtre dégage une complexité remarquablement originale de la moyenne-valée du Rhône (Dirigat-Vallet 2003 ; Bocier et al. 2002). Les vases de cette phase ont trois quaternes redoublés à leur sommet et sept à leur base. Il s'agit pour l'essentiel de pots à feu sans leur composition ainsi que certains des dérivés, des jattes et un fond de brûle-jour.

Un couvercle à engobe portait un décor gaufré sur la face externe (Fig. 15, n° 1) et semblable à la forme Deth. Il est signalé à Colas B, appartenant au dépouille de la phase de la moyenne-valée (Dirigat 2003, fig. 3, n° 10). Colas C a également produit des exemplaires similaires à plus abstrait, dont des couvercles à engobe assez semblables à cet exemplaire (sans pots, à Colas ?) (Dirigat 2003, fig. 3, n° 10).

Les exemplaires en pâte rouge (Fig. 15, n° 3 et 4) et en pâte orange (Fig. 15, n° 12, 13 et 15) sont des pots sans ans à bords en amande verticaux. Il s'agit d'une forme possible du type A1 ou céramique commune oxydante minuscule, produite à partir du III a (Dieffler, Ravaud 1998, p. 388). Cette forme est signalée sur le site des Fouaques à Ravaud (Vindon) dans un ensemble du IP a (Gidel, 1987, fig. 9, n° 51-52). Les n° 4, 13 et 15 possèdent des fonds versants, avec la partie qui forme un bandeau externe courbe et une gorge interne. Ce type est très présent à Mardat au IP a (Dirigat-Vallet 2003, fig. 8, n° 1-3). Un vase semblable est aussi mentionné à Saint-Romain-en-Gal au début du Quaternaire antérieur dans un contexte daté de la fin du IP a et début du III a (Gidel 2005, fig. 13, n° 10). Les exemplaires n° 3 et 12 ne possèdent pas ou ont des très faibles sautoirs. Une gorge interne, des exemplaires similaires, en pâte blanche ou colorée, ont permis à Vienne sur le site de Quai-Ferdinand au début du III a (Gidel 1995, fig. 17, n° 27) et au II a (Gidel) de la zone Laurier-Berthoin 3, fin du IP a (Gidel, fig. 15, n° 064). Un individu sans versants est aussi connu à Sures au II a (Gidel) de la phase des Célestins au début du III a (Bocier et al. 2005, fig. 20, n° 73). Trois vases, avec profonds redoublés n° 12 (avec fontaine de la zone plus caractéristique) sont signalés à Fes-cot-Saint-Géry (Gidel 2004, fig. 7, n° 21-24).

Un individu (Fig. 15, n° 5) se rapproche des formes à col court et bords déversants et bandes, dans ce rare exemplaire sont présents à Saint-Romain-en-Gal au début du III a (Gidel 2005, fig. 16, n° 4 et 5 ; Gidel 1995, fig. 14, n° 49-51). Une partie des carènes à bord déversant (Fig. 15, n° 6) se caractérisent par un col légèrement évasé, un décor fontaine et un relief soulignant la carène.

Les pots à feu sont sans doute les formes les plus évoluées de cette phase. Ils sont caractérisés par un col évasé et un fond de brûle-jour.

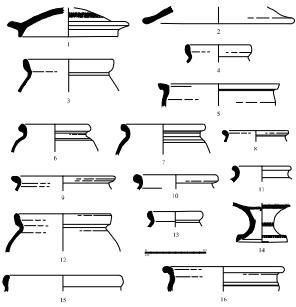


Figure 15. Ades 13, plans maillots, Plans 16. Cinq types de corniches à poutre solive en bois et métal.
Ech. 1/10. Dessin de Zlatko Krizan.

plus diffusées en étranger, notamment en France, dans les années 1930-1940, en particulier par le biais de la production en série, mais aussi de la production en atelier. Ces corniches ont été conçues par le fond, sans être conçues comme des éléments de décoration, mais comme des éléments de structure, à être assemblés.

présentent tous les deux des caractéristiques à la base de leur conception, en particulier par le biais de la production en série, mais aussi de la production en atelier. Ces corniches ont été conçues par le fond, sans être conçues comme des éléments de décoration, mais comme des éléments de structure, à être assemblés.

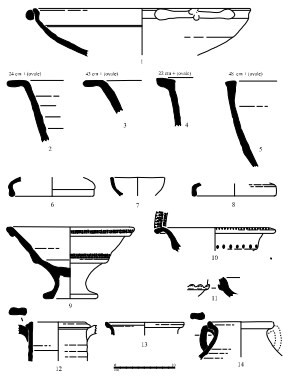


Figura 81. Scaunul 15, planul de lucru. Planul 16. Construcția scaunului și planul de lucru. Scaunul 15 și 16. Scaunul 15 și 16. Scaunul 15 și 16.

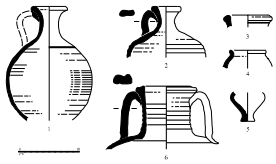


Figure 17. Ardele 15, Plate 11a/b/c/d/e. Crotini group conus-like shells. 10. Shell of M207 (Collet).

afin qu'un unguentifère (Fig. 17, n° 5). Enfin, on trouve une anguillote à fosse caudale (Fig. 17, n° 6) dont la forme de la fosse et du col est peut-être un peu différente de celle de l'exemplaire n° 12 (Fig. 16).

1.3. Les amphores

Les amphores contiennent 15% de l'ensemble des céramiques de cette phase (Fig. 18). Les amphores sont très largement décoratives, les amphores galbées ne représentant que 7% du matériel total. Ce sont les productions africaines qui sont les plus nombreuses (20%), suivies par les amphores orientales (17%) et celles de Bretagne (14%).

— Amphores africaines
Quatre productions de type Laponisium II sont présentes dans ce contexte (Fig. 18, n° 1 et 2). Ces amphores de tradition punique sont produites

Région	Type	NMI	Planches
Asie	Laptevina II	4	Fig. 18, n° 1 et 2
	Bonifay 16 - Poppea T200.4	1	Fig. 18, n° 3
	Schnee-Maj 35	1	
	Africana II	2	
	Africana III A	1	Fig. 18, n° 4
Océan	Africana III A	1	Fig. 18, n° 4
	Ind.	11	
	Agass 31177	3	Fig. 18, n° 6
	Comarca	1	
Inde	Angul 47	1	Fig. 18, n° 7
	Agass 16556	1	
	CR. IA - Colch. 105 mm.	7	Fig. 18, n° 8
	Ind.	3	
	De-14	1	Fig. 20, n° 6
Éthiopie	De-20	8	Fig. 20, n° 1 et 5
	Almagro 50	2	Fig. 20, n° 7 et 8
	Ind.	2	
Inde	Porringepoh	1	Fig. 20, n° 9
	Cl. 4	3	Fig. 20, n° 10 et 11
Inde	Ind.	2	
	Ind.	16	

Figure 18. Atlas 15 plan Marshall, France, inventaire typologique des amphipodes.

à également été proposée (Sachet 1996, Pl. 180, n° 21 - loc. Ethio. 5).
 Les identifiées avec *Ampelohor* - cariste -
 (ou *Cambalohor* 1895 également produite dans
 de respectivement, en précision à décrire.
 (Lemaitre et al. 2005, p. 515-521 ; Reyrolle et al.
 2006-2008, p. 1707 et fig. 7 à 10). En Galles, elle
 connaît entre le 8° et le 10° s. une diffusion assez
 large mais occasionnelle (notamment à Opored
 1995, Lemaitre et al. 2005, p. 515 ; Lauderhede
 2010, p. 71). Le centre de ses amphipodes
 reste incertain. La présence de poils sur la partie
 interne de plusieurs individus ainsi permis de
 suggérer le transport de via ou de nature de poisson
 (Vignard 1993). Plus récemment, l'espèce d'origine
 commercialisation de fruits a été retenue par

plusieurs auteurs, sur la base d'inscriptions galloises
 (Lemaitre et al. 2005, p. 520-521 ; Lauderhede
 2010, p. 71 ; Reyrolle 2010, p. 73).
 Un bœuf correspond au type Angul 47 (Fig.
 18, n° 7), une occurrence de taille modeste, associée
 à Angul de la première moitié du 19^e au 10^e s.
 (Maitre-Richter 1994, p. 475). Des exemplaires
 sont également associés à l'ère et l'ère féodales
 (en Galles) (Lemaitre 2008, fig. 7, n° 10-11 ; Lemaitre
 et al. 2005, p. 522, ainsi qu'à la zone Marles de
 la Mer (Long, Duvivier 2011, fig. 10, n° 15). Cet
 individu, caractérisé par une brève en fourchettes
 peut être, comme prévu, se trouve dans un contexte de défilé du 10^e s.
 (Lemaitre et al. 2005, fig. 10, n° 2). Ces occurrences
 ont vraisemblablement été produites dans le nord

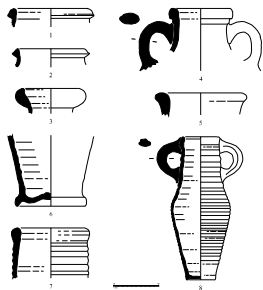


Figure 19. Atlas 19, planches illustrées. Musée de Nîmes, N° 1. 1-5: amphores africaines (174-183); amphores orientales (184-185) dans un dépôt d'importation.

du Liban entre la fin du 1^{er} et le début du III^e siècles (Cassidy 2002, p. 295, fig. 44).

Les amphores Caledon, IA miniatures (Fig. 19 n° 6), dont sept individus ont été identifiés dans cet ensemble (Lohse, Capelli 2013, fig. 1), sont également des productions locales. Ce sont des petits vases, peints en blanc pour empêcher de faire passer la poudre noire de III^e et II^e siècles, est discuté localement (Cassidy 2002, p. 295, fig. 44).

Enfin, plusieurs pièces de conteneurs monozonaux Agria (Fig. 19 n° 7) ont été trouvées, couleur marron très micacée, caractéristique des

productions de La vallée du Méandre (Lemire 1979). Ces amphores violettes sont assez largement diffusées en Occident durant le Haut-Empire, en particulier sur l'axe rhodanien (Blot, Lecomte 2001, p. 230).

Amphores de Bétique Les importations de Bétique sont représentées par huit amphores à bords DC 30 (Fig. 20, n° 1 à 3). Outre exemplaires correspondant à la variante G dans notre lot (1 et 2), une à la variante R dans notre lot (3) et 1 (n° 2) et 1 (n° 1) de la variante D (n° 4) dans notre lot (1 et 2) (Blot-Ribbaud 1987, p. 236-237). Une arca de DC 30 porte un timbre avec

une inscription de Bétique (Blot-Ribbaud 1987, p. 236-237). Une arca de DC 30 porte un timbre avec

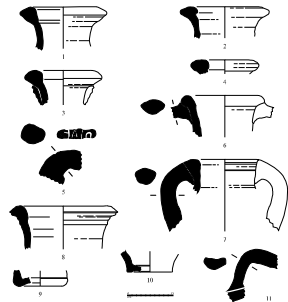


Figure 20. Ados 7, plan; Musée de Rouen, n° 143. Amphora à Echape, n° 9; amphora à l'écureuil, n° 10 et 11; amphora partie à la base et 1907, 7 (écureuil).

Inscriptions étrusques QIKAS (cf. 50, base de Dat-ber de Malpica (Brescia, Noyet 2004, p. 147-148) et légèrement déclinée à Rome dans que sur l'axe fibre, néolithique et en Grande-Bretagne (Riget et al. 2014, p. 257).

Un tel Fig. 20, n° 4) appartient à une amphore à l'écureuil (D. 18, dont la production est reconnue en Espagne (notamment de la région de Grenade, Malaga, Almería et de la baie de Cadix) et en Sardaigne (notamment de l'île). Cet objet, considéré une pièce de contour étroit, qui suggère une origine en Espagne. Cette amphore est déclinée entre le 7^e et le début du 10^e s. (Barruol, Meyer 2004, p. 131-132).

Amphores italiques

Datation archéologique italique de ce contexte est repé-

On recense souvent dans cette amphore l'écureuil (Brescia, Noyet 2004, p. 147-148) et dans également dans les amphores à l'écureuil en France, Belgique, Italie et en Tunisie (Gard, p. 127-141). La pièce de ce contexte, de couleur rouge, semble correspondre à la première région (Gard, p. 127).

Cette production décline vers la deuxième des 12^e et 13^e s. (Gard, p. 130). Elle est signalée à Lione et à Saint-Denis (notamment de la région de 10^e s. (Dactis, Drogues 1992, p. 112).

Amphores italiques

Datation archéologique italique de ce contexte est repé-

venant par un fragment de fond de type Iordaniya (Fig. 30 n° 9). Cette amphore est une variante d'offrande de Fediappé et probablement de Rimini et sa sigilla (Poulet 2017, 193-196) est par ailleurs à partir de la seconde moitié du I^{er} s. et correspond à une large diffusion jusqu'en milieu du II^e s. (Gard, p. 104-105). Cet indus correspond à la variante A de T. Malm (1978, annexes à Malm, dans le catalogue de la table IV à Carrer et al. 2008, fig. 76, p. 129 et 130, ainsi qu'à Lower-Malm (Lower-Malm 1978, fig. 1, n° 14) et à Arce dans le répertoire Numis de Zamparelli (Fron. Epoca 2009, 265, 2^e fig.).

Amphores grecques

Neuf amphores grecques sont figurées (tableaux amphores grecques, Les remplissages n° 10 à 18, Fig. 20) représentant sans doute à une amphore de type A.G.M.C. (C. G. n° 6) et 8. La plus colorée date de ces amphores est comparée à celle de la garniture des ateliers de Narbonne. Il s'agit d'une pièce possible de déterminer leur lieu de fabrication. Le diamètre de fond (10 cm) caractérise plutôt les C. G. 4 de la fin du I^{er} ou de la première moitié du II^e s., voir les C. 5 italiques (fig. 20, 7).

1.4. Les lampes et autre céramique modelée

(Fig. 21)
 Neuf exemplaires de deux types à bec dans ce contexte. L'exemplaire n° 1 est une lampe africaine (Duroc 8 et probablement de soustape) et de variante U (Duroc 2004, p. 350-351). Le fond est en forme de trois quarts de cercle. Le diamètre est incomplet, mais nous pouvons identifier la tête d'un personnage imberbe sur la partie supérieure. Cette tête est une copie de celle d'un jeune athlète courant vers la gauche, figuré sur une lampe de type similaire conservée au Musée National de Carthage (Duroc 1998, n° 092). Ces lampes sont généralement produites dans la région de Carthage entre la fin du II^e et le milieu du III^e s. (Duroc 2004, p. 357).

La forme n° 2 est attribuée au type Duroc VII. Nous en pouvons en identifier le prototype. Le fond est en forme de deux tiers de cercle. Les lampes africaines Duroc VII sont connues entre la première moitié du I^{er} et la seconde moitié du II^e s. (Duroc 1977, 217-219).



Figure 21 : 1) Site 7, plus à l'ouest, Phase A, n° 1 à 7; 2) Site 6, autre céramique modelée, B.H. 12, Cliché et D.H. 2, soûlisme

Categorie	NK	B	F	A	P	SMI	% class.	% general
Valoarea de tabel								
Significativ subiect	1	11				11	3,1	6,8
Significativ caracteristici	1			11		11	3,1	6,8
Significativ activitate A	2	12				14	6,3	1,6
Significativ activitate C	10	3	1			14	9,4	2,4
Significativ activitate C/B	8	11				19	5,5	6,8
Significativ interactivitate	3	2				5	2	6,3
Significativ Clasa II	79	21	10	4	79	114	65,6	15
Procentaj vizualizat	4					4	1,1	3,3
Total	103	27	14	4	35	183	100	25,8
Valoarea calitatii								
Calitatea activitatii	101	39	16			156	29,6	14,5
Comportament activ	6	3				9	2,5	2,9
Comportament pasiv	6	2	1			9	2,5	1,6
Dezinteres activitate / inactivitate	13	4				17	4,9	3,1
Discutii generale	2	2				4	1,2	1,6
Sabloni pentru dezvoltare	7	3	1			11	3,4	2,4
Koordinare	31	4	3			38	10,9	3,2
Probleme	46	9	4			59	17,2	7,3
Comportament inactiv	2	2				4	1,2	1,6
Total	228	68	15	1	135	447	100	54,8
Analiza								
Atitudine	68	6	1			75	16,7	1,5
Orice	31	4				35	7,8	3,2
Mediu	31	3				34	7,6	3,2
Grup	45	3				48	10,7	3,2
Indiv	10					10	2,2	1,6
Interactivitate	17					17	3,8	1,6
Total	214	16	8	14	176	428	100	17
Tempe								
Indiv						11	2,6	0,8
Grup	2					2	0,5	1,6
Total	3					3	100	2,4
Total	340	112	37	10	346	846	100	

Figura 23: Activitate Manuala - Tabel 56: Sistem de categorii de activitate observate

Catégorie	Matériau	Typologie	NMI	Fonction
Signalis corinthienne	bat	bat	1	fig. 24, n° 1
Signalis africaine A	Plat	Hissen 97	1	
	Coupe	Hissen 97/1	1	
Signalis africaine C	Plat	Hissen 99	3	fig. 24, n° 2 et 3
Signalis africaine C/E	Coupe	Hissen 80	1	fig. 24, n° 4
Signalis indigénisme	Plat	Desb. 18	2	
	Desb. 1	3		
	Plat	Desb. 2	6	fig. 25, n° 1 et 2
	Desb. 3	7		
	Desb. 4	8		
	Desb. C1-28 102	1	fig. 25, n° 3	
Signalis Chaire B	Coupe	Desb. 81/1	7	fig. 25, n° 4 et 5
	Desb. 10/8	1	fig. 25, n° 6	
	Desb. 55	1	fig. 25, n° 7	
	Gobelet	Desb. 60a	1	fig. 25, n° 8
	Desb. 60	3	fig. 25, n° 9	
	bat	Desb. 71	1	fig. 25, n° 10
	Crauche	Desb. 85	1	fig. 25, n° 11

Figure 23 - Atlas 1-3, plan Vindolux, Phase III, inventaire typologique des courroies (en).

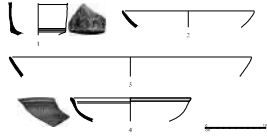


Figure 24 - Atlas 1, plan Vindolux, Phase III, 1-11, courroies corinthiennes - n° 1 et 2 et 3; signalis africaine C; n° 4; signalis africaine C/E; fig. 25, Desb. C1-28 102; 10; 11; 12; 13; 14; 15; 16; 17; 18; 19; 20; 21; 22; 23; 24; 25; 26; 27; 28; 29; 30; 31; 32; 33; 34; 35; 36; 37; 38; 39; 40; 41; 42; 43; 44; 45; 46; 47; 48; 49; 50; 51; 52; 53; 54; 55; 56; 57; 58; 59; 60; 61; 62; 63; 64; 65; 66; 67; 68; 69; 70; 71; 72; 73; 74; 75; 76; 77; 78; 79; 80; 81; 82; 83; 84; 85; 86; 87; 88; 89; 90; 91; 92; 93; 94; 95; 96; 97; 98; 99; 100; 101; 102; 103; 104; 105; 106; 107; 108; 109; 110; 111; 112; 113; 114; 115; 116; 117; 118; 119; 120; 121; 122; 123; 124; 125; 126; 127; 128; 129; 130; 131; 132; 133; 134; 135; 136; 137; 138; 139; 140; 141; 142; 143; 144; 145; 146; 147; 148; 149; 150; 151; 152; 153; 154; 155; 156; 157; 158; 159; 160; 161; 162; 163; 164; 165; 166; 167; 168; 169; 170; 171; 172; 173; 174; 175; 176; 177; 178; 179; 180; 181; 182; 183; 184; 185; 186; 187; 188; 189; 190; 191; 192; 193; 194; 195; 196; 197; 198; 199; 200; 201; 202; 203; 204; 205; 206; 207; 208; 209; 210; 211; 212; 213; 214; 215; 216; 217; 218; 219; 220; 221; 222; 223; 224; 225; 226; 227; 228; 229; 230; 231; 232; 233; 234; 235; 236; 237; 238; 239; 240; 241; 242; 243; 244; 245; 246; 247; 248; 249; 250; 251; 252; 253; 254; 255; 256; 257; 258; 259; 260; 261; 262; 263; 264; 265; 266; 267; 268; 269; 270; 271; 272; 273; 274; 275; 276; 277; 278; 279; 280; 281; 282; 283; 284; 285; 286; 287; 288; 289; 290; 291; 292; 293; 294; 295; 296; 297; 298; 299; 300; 301; 302; 303; 304; 305; 306; 307; 308; 309; 310; 311; 312; 313; 314; 315; 316; 317; 318; 319; 320; 321; 322; 323; 324; 325; 326; 327; 328; 329; 330; 331; 332; 333; 334; 335; 336; 337; 338; 339; 340; 341; 342; 343; 344; 345; 346; 347; 348; 349; 350; 351; 352; 353; 354; 355; 356; 357; 358; 359; 360; 361; 362; 363; 364; 365; 366; 367; 368; 369; 370; 371; 372; 373; 374; 375; 376; 377; 378; 379; 380; 381; 382; 383; 384; 385; 386; 387; 388; 389; 390; 391; 392; 393; 394; 395; 396; 397; 398; 399; 400; 401; 402; 403; 404; 405; 406; 407; 408; 409; 410; 411; 412; 413; 414; 415; 416; 417; 418; 419; 420; 421; 422; 423; 424; 425; 426; 427; 428; 429; 430; 431; 432; 433; 434; 435; 436; 437; 438; 439; 440; 441; 442; 443; 444; 445; 446; 447; 448; 449; 450; 451; 452; 453; 454; 455; 456; 457; 458; 459; 460; 461; 462; 463; 464; 465; 466; 467; 468; 469; 470; 471; 472; 473; 474; 475; 476; 477; 478; 479; 480; 481; 482; 483; 484; 485; 486; 487; 488; 489; 490; 491; 492; 493; 494; 495; 496; 497; 498; 499; 500; 501; 502; 503; 504; 505; 506; 507; 508; 509; 510; 511; 512; 513; 514; 515; 516; 517; 518; 519; 520; 521; 522; 523; 524; 525; 526; 527; 528; 529; 530; 531; 532; 533; 534; 535; 536; 537; 538; 539; 540; 541; 542; 543; 544; 545; 546; 547; 548; 549; 550; 551; 552; 553; 554; 555; 556; 557; 558; 559; 560; 561; 562; 563; 564; 565; 566; 567; 568; 569; 570; 571; 572; 573; 574; 575; 576; 577; 578; 579; 580; 581; 582; 583; 584; 585; 586; 587; 588; 589; 590; 591; 592; 593; 594; 595; 596; 597; 598; 599; 600; 601; 602; 603; 604; 605; 606; 607; 608; 609; 610; 611; 612; 613; 614; 615; 616; 617; 618; 619; 620; 621; 622; 623; 624; 625; 626; 627; 628; 629; 630; 631; 632; 633; 634; 635; 636; 637; 638; 639; 640; 641; 642; 643; 644; 645; 646; 647; 648; 649; 650; 651; 652; 653; 654; 655; 656; 657; 658; 659; 660; 661; 662; 663; 664; 665; 666; 667; 668; 669; 670; 671; 672; 673; 674; 675; 676; 677; 678; 679; 680; 681; 682; 683; 684; 685; 686; 687; 688; 689; 690; 691; 692; 693; 694; 695; 696; 697; 698; 699; 700; 701; 702; 703; 704; 705; 706; 707; 708; 709; 710; 711; 712; 713; 714; 715; 716; 717; 718; 719; 720; 721; 722; 723; 724; 725; 726; 727; 728; 729; 730; 731; 732; 733; 734; 735; 736; 737; 738; 739; 740; 741; 742; 743; 744; 745; 746; 747; 748; 749; 750; 751; 752; 753; 754; 755; 756; 757; 758; 759; 760; 761; 762; 763; 764; 765; 766; 767; 768; 769; 770; 771; 772; 773; 774; 775; 776; 777; 778; 779; 780; 781; 782; 783; 784; 785; 786; 787; 788; 789; 790; 791; 792; 793; 794; 795; 796; 797; 798; 799; 800; 801; 802; 803; 804; 805; 806; 807; 808; 809; 810; 811; 812; 813; 814; 815; 816; 817; 818; 819; 820; 821; 822; 823; 824; 825; 826; 827; 828; 829; 830; 831; 832; 833; 834; 835; 836; 837; 838; 839; 840; 841; 842; 843; 844; 845; 846; 847; 848; 849; 850; 851; 852; 853; 854; 855; 856; 857; 858; 859; 860; 861; 862; 863; 864; 865; 866; 867; 868; 869; 870; 871; 872; 873; 874; 875; 876; 877; 878; 879; 880; 881; 882; 883; 884; 885; 886; 887; 888; 889; 890; 891; 892; 893; 894; 895; 896; 897; 898; 899; 900; 901; 902; 903; 904; 905; 906; 907; 908; 909; 910; 911; 912; 913; 914; 915; 916; 917; 918; 919; 920; 921; 922; 923; 924; 925; 926; 927; 928; 929; 930; 931; 932; 933; 934; 935; 936; 937; 938; 939; 940; 941; 942; 943; 944; 945; 946; 947; 948; 949; 950; 951; 952; 953; 954; 955; 956; 957; 958; 959; 960; 961; 962; 963; 964; 965; 966; 967; 968; 969; 970; 971; 972; 973; 974; 975; 976; 977; 978; 979; 980; 981; 982; 983; 984; 985; 986; 987; 988; 989; 990; 991; 992; 993; 994; 995; 996; 997; 998; 999; 1000.

mer vase en agalite découverte apparié avec un profil
 presque complet de coupe (N°s 40 (Fig. 24, 40-41,
 42) et 43) en vase occupant à côté de la
 coupe et, mais à plus ou moins différent, de son
 bord orangé plus ou moins des tubercules blanchâtres
 sans contour. De plus, la surface intérieure est
 que très partiellement englobé (sur seulement 1 cm
 environ plus du bord). Il convient sans doute, se-
 lon M. Bouvier (non pers.) de rattacher ce vase à
 la catégorie C1, englobant de fait le vase (cf.
 Bouvier 2004, p. 51). La surface intérieure est en dé-
 cor polychrome. Deux exemplaires de ce type ont été
 conservés par D. Hertz, mais ceux-ci portent un décor
 appliqué à l'intérieur. Cet auteur propose de le da-

ter sous le défilé et le milieu du III^e s. (Hertz 1972,
 p. 29).

2.1.2. Les productions régionales

Les productions régionales concernent les vases
 quarts de la variété de table de cette phase. Tou-
 tefois, deux vases de plus (Fig. 25) en agalite
 ou gypseuse apparaissent sans doute en position
 locale. Les productions théodosiennes de si-
 gles (Gizeh B. occupent donc une position hi-
 éroclastique avec 90% de caractères grecs. Le
 répertoire est assez diversifié. Mais que largement
 donne par les plans (11 ex.), correspondant essen-

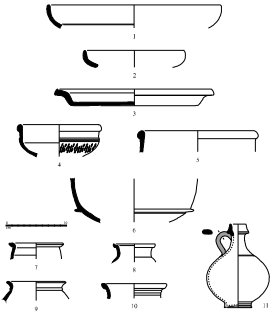


Figure 25. 1-8, vase Maastricht, Phase 9b, Agalite/Gypse. R. 40, 1/3. Dessins et DAO G. Dupont.

relativement aux types Dosh 1 et Dosh 2 (Fig. 25, n° 1 et 2). On trouve également un plat (Fig. 24, n° 3) et un récipient proche du type C1.8 (Fig. 25, n° 5) qui semblent appartenir vers le milieu du III^e avant J.-C. Parmi les formes ouvertes, nous notons un coupe aplatisseur (coupe ouverte, nœud aux types Dosh 8 (Fig. 25, n° 4) et Dosh 11 (Fig. 25, n° 6)), ainsi qu'un fragment de vase portant un décor appliqué sous forme d'arabesques au type Dosh 14 (Fig. 25, n° 6). Avec ces objets, les plus anciens appartenant à la culture de la fin du III^e avant J.-C. sont les céramiques communes et culinaires (Fig. 26).

2.2. Les céramiques communes et culinaires (Fig. 26)

2.2.1. Les importations

Les céramiques d'importation représentent près de deux tiers de la totalité de la production et de la consommation de cette phase. Elles comprennent les matériaux importés de l'étranger, mais aussi des productions locales à elles seules 57% de cette classe de matériel.

Le répertoire des céramiques africaines est composé de plus de quatre-vingt-dix types (type 118 (Fig. 27, n° 1 et 3) et du commun Hane (Fig. 27, n° 4 à 6). Le premier appartient à une céramique de type Hane basané plus que Hane (type 200) (Fig. 27, n° 6). Le premier individu possède la plus ancienne des céramiques africaines, une surface esterne carbolée, caractéristique de la catégorie 56 de cette production (cf. Bouillon 2004, p. 47). La pâte du second vase est différente, très adhésive et de couleur brune dans sa provenance exacte au sein de l'axe africain est malheureusement la Bovidité. Cette forme serait produite dans le 17^e et le début du III^e avant J.-C. (p. 211, Agnès-Oud 1991, p. 200). Elle est représentée à Arles dans un contexte de la première moitié du III^e avant J.-C. (Pagnier 2013, Fig. 25, n° 2). Des numéros de collection sont associés à ces vases de cuisson, ils correspondent tous au type Hane 196 (Fig. 26, n° 1 à 7), à l'exception d'un unique vase plat du type Hane 120 (Fig. 26, n° 8), daté de la fin du II^e et du III^e avant J.-C. (Bouillon 2004, p. 217).

Quelques céramiques culinaires proviennent de Malherbes et ont été citées dans le commentaire. Une miniature à usage de pignoneau agreste (Fig. 28, n° 9) correspond à la forme cataloguée en 2.2.2.2. présente dans la phase 9a (Fig. 11, n° 1 à 3). Cet objet semble appartenir vers la fin du III^e avant J.-C. ou le début du III^e avant J.-C. On retrouve également deux pots à cuire du type Agre (Fig. 28, n° 10 et 11) (Fig. 28, n° 10 et 11) bien documentés à Varamelle à Fos (Carré et al. 1998, fig. 63, n° 76, Maréchal 2004, fig. 10, n° 100). Il s'agit probablement d'une production agreste et sous-croûte (Oud, 1981, p. 118). La pâte de ces céramiques est de couleur brun foncé, dure et soignée, contenant de fines inclusions de mica et des particules fines de micas et de grands diamants. Leur surface interne est légèrement grise et leur surface externe porte un dépôt charbonneux.

Enfin, deux vases de cuisson proviennent d'Italie : un plat de type uniformisé (Fig. 28, n° 12) et un fond de couvercle (Fig. 28, n° 13) de type 14 (Oud 1993, p. 363).

2.2.2. Les productions régionales

Les productions régionales comprennent moins d'un tiers des céramiques cuites et utilisées de cette phase. Ces matériaux appartiennent à de nombreuses catégories différentes, toutes représentées par un faible nombre d'individus.

Les productions localisées à la plus grande distance apparaissent avec une série C33b-L4 (Fig. 29, n° 1), dans une série C33b-S4 (Fig. 29, n° 2) et une série C33b-S4-C3, dont seule la série 1 est représentée au type 200 (Fig. 29, n° 3). Sans doute originaires de la même région (cf. Oud 1993, p. 211), ces formes sont très proches de celles appartenant au type S41-A3 (Fig. 29, n° 4 à 6), dont la fabrication débute vers 220 avant J.-C. (Bouillon 1998, p. 550). Les vases à pâte kaolinifère appartiennent de provenance indéterminée, mais correspondent aux types 200 (Fig. 29, n° 4 à 6).

Les céramiques brèves provençales ne sont attestées que par deux exemplaires du type 16a (Fig. 29, n° 7 et 8).

Categorie	Forme	Typologie	SMI	Planches
Céramique architecturale	Faïence émaillée	Hayat 23A	1	
		Hayat 23B	10	Fig. 27, n° 1 et 2
	Muraille	Hayat 197	7	Fig. 27, n° 3 à 5
	Ume	Hayat 198	2	Fig. 27, n° 6
	Couverts	Hayat 199	28	Fig. 28, n° 1 à 7
Commune orientale	Muraille	Coaching and style 7	1	Fig. 28, n° 8
	Plac	Après K310	2	Fig. 28, n° 9 et 11
	Faïence émaillée	ind.	1	Fig. 28, n° 12
Commune indienne	Couverts	si	1	Fig. 28, n° 13
		COH-CM-A3a	1	Fig. 29, n° 1
Commune oxydante: zirconium chromite	Ume	COH-CM-A3	2	Fig. 29, n° 2
		COH-CM-E3	1	Fig. 29, n° 3
Sécheresse: rhodolite	Ume	SAH-CO-A12	3	Fig. 29, n° 4 et 5
		K-06, A1	1	
Kerolite	Ume	K-06, A2 7	1	Fig. 29, n° 6
		K-06, A1 3	1	Fig. 29, n° 7
		K-06, A1 7	1	Fig. 29, n° 8
		Nin 7100	2	Fig. 29, n° 9 et 10
Basse provinciale	Couverts	CL-REC-0	2	Fig. 29, n° 11
		ind.	1	
Pâte émaillée	Hillegersform	CL-REC-15gh ¹ Dag 9	1	Fig. 29, n° 12
	Por de chambre	CL-REC 25	3	Fig. 29, n° 13
		Plac 10	1	
	Mobilier	ind.	2	Fig. 30, n° 14
		Couverts	ind.	1
Commune indienne		ind.	1	Fig. 30, n° 2
	Mobilier	ind.	1	

Fig. 28 - Ailes 1, place Mandine, Phase 9b, le mur: le coupage des céramiques communes.

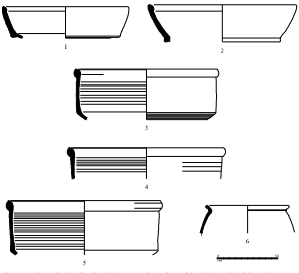


Figure 27. Adici i Gjigja Mardite. Thau 06. Groun per kalonit afronite. Tsh, U.S. Desein en 1900.8. Fig. n. 6. Pajetimi.

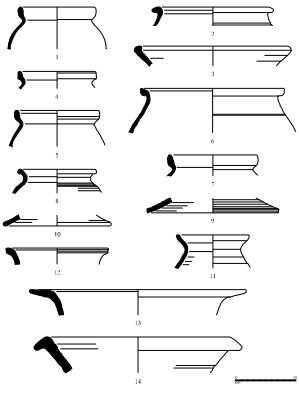


Figura 29. Adela's 5 planurilor. Planurile 1-14, N° 1-14, sunt planuri care sunt realizate în cadrul proiectului de cercetare științifică nr. 1/2018, intitulat "Cercetarea științifică privind dezvoltarea și aplicarea tehnologiilor de construcție în domeniul construcțiilor de lemn".

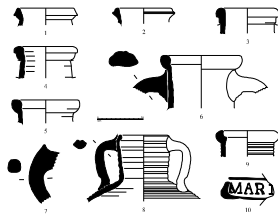


Figure 21. Ades à glace modèles. Plans N° 1 à 4 ampoules ordinaires, N° 5 à 7 ampoules ordinaires et N° 8 ampoules spéciales (a) (b) (c) (d) (e) (f) (g) (h) (i) (j) (k) (l) (m) (n) (o) (p) (q) (r) (s) (t) (u) (v) (w) (x) (y) (z) (aa) (ab) (ac) (ad) (ae) (af) (ag) (ah) (ai) (aj) (ak) (al) (am) (an) (ao) (ap) (aq) (ar) (as) (at) (au) (av) (aw) (ax) (ay) (az) (ba) (bb) (bc) (bd) (be) (bf) (bg) (bh) (bi) (bj) (bk) (bl) (bm) (bn) (bo) (bp) (bq) (br) (bs) (bt) (bu) (bv) (bw) (bx) (by) (bz) (ca) (cb) (cc) (cd) (ce) (cf) (cg) (ch) (ci) (cj) (ck) (cl) (cm) (cn) (co) (cp) (cq) (cr) (cs) (ct) (cu) (cv) (cw) (cx) (cy) (cz) (da) (db) (dc) (dd) (de) (df) (dg) (dh) (di) (dj) (dk) (dl) (dm) (dn) (do) (dp) (dq) (dr) (ds) (dt) (du) (dv) (dw) (dx) (dy) (dz) (ea) (eb) (ec) (ed) (ee) (ef) (eg) (eh) (ei) (ej) (ek) (el) (em) (en) (eo) (ep) (eq) (er) (es) (et) (eu) (ev) (ew) (ex) (ey) (ez) (fa) (fb) (fc) (fd) (fe) (ff) (fg) (fh) (fi) (fj) (fk) (fl) (fm) (fn) (fo) (fp) (fq) (fr) (fs) (ft) (fu) (fv) (fw) (fx) (fy) (fz) (ga) (gb) (gc) (gd) (ge) (gf) (gg) (gh) (gi) (gj) (gk) (gl) (gm) (gn) (go) (gp) (gq) (gr) (gs) (gt) (gu) (gv) (gw) (gx) (gy) (gz) (ha) (hb) (hc) (hd) (he) (hf) (hg) (hh) (hi) (hj) (hk) (hl) (hm) (hn) (ho) (hp) (hq) (hr) (hs) (ht) (hu) (hv) (hw) (hx) (hy) (hz) (ia) (ib) (ic) (id) (ie) (if) (ig) (ih) (ii) (ij) (ik) (il) (im) (in) (io) (ip) (iq) (ir) (is) (it) (iu) (iv) (iw) (ix) (iy) (iz) (ja) (jb) (jc) (jd) (je) (jf) (jg) (jh) (ji) (jj) (jk) (jl) (jm) (jn) (jo) (jp) (jq) (jr) (js) (jt) (ju) (jv) (jw) (jx) (jy) (jz) (ka) (kb) (kc) (kd) (ke) (kf) (kg) (kh) (ki) (kj) (kk) (kl) (km) (kn) (ko) (kp) (kq) (kr) (ks) (kt) (ku) (kv) (kw) (kx) (ky) (kz) (la) (lb) (lc) (ld) (le) (lf) (lg) (lh) (li) (lj) (lk) (ll) (lm) (ln) (lo) (lp) (lq) (lr) (ls) (lt) (lu) (lv) (lw) (lx) (ly) (lz) (ma) (mb) (mc) (md) (me) (mf) (mg) (mh) (mi) (mj) (mk) (ml) (mm) (mn) (mo) (mp) (mq) (mr) (ms) (mt) (mu) (mv) (mw) (mx) (my) (mz) (na) (nb) (nc) (nd) (ne) (nf) (ng) (nh) (ni) (nj) (nk) (nl) (nm) (nn) (no) (np) (nq) (nr) (ns) (nt) (nu) (nv) (nw) (nx) (ny) (nz) (oa) (ob) (oc) (od) (oe) (of) (og) (oh) (oi) (oj) (ok) (ol) (om) (on) (oo) (op) (oq) (or) (os) (ot) (ou) (ov) (ow) (ox) (oy) (oz) (pa) (pb) (pc) (pd) (pe) (pf) (pg) (ph) (pi) (pj) (pk) (pl) (pm) (pn) (po) (pp) (pq) (pr) (ps) (pt) (pu) (pv) (pw) (px) (py) (pz) (qa) (qb) (qc) (qd) (qe) (qf) (qg) (qh) (qi) (qj) (qk) (ql) (qm) (qn) (qo) (qp) (qq) (qr) (qs) (qt) (qu) (qv) (qw) (qx) (qy) (qz) (ra) (rb) (rc) (rd) (re) (rf) (rg) (rh) (ri) (rj) (rk) (rl) (rm) (rn) (ro) (rp) (rq) (rr) (rs) (rt) (ru) (rv) (rw) (rx) (ry) (rz) (sa) (sb) (sc) (sd) (se) (sf) (sg) (sh) (si) (sj) (sk) (sl) (sm) (sn) (so) (sp) (sq) (sr) (ss) (st) (su) (sv) (sw) (sx) (sy) (sz) (ta) (tb) (tc) (td) (te) (tf) (tg) (th) (ti) (tj) (tk) (tl) (tm) (tn) (to) (tp) (tq) (tr) (ts) (tt) (tu) (tv) (tw) (tx) (ty) (tz) (ua) (ub) (uc) (ud) (ue) (uf) (ug) (uh) (ui) (uj) (uk) (ul) (um) (un) (uo) (up) (uq) (ur) (us) (ut) (uu) (uv) (uw) (ux) (uy) (uz) (va) (vb) (vc) (vd) (ve) (vf) (vg) (vh) (vi) (vj) (vk) (vl) (vm) (vn) (vo) (vp) (vq) (vr) (vs) (vt) (vu) (vv) (vw) (vx) (vy) (vz) (wa) (wb) (wc) (wd) (we) (wf) (wg) (wh) (wi) (wj) (wk) (wl) (wm) (wn) (wo) (wp) (wq) (wr) (ws) (wt) (wu) (wv) (ww) (wx) (wy) (wz) (xa) (xb) (xc) (xd) (xe) (xf) (xg) (xh) (xi) (xj) (xk) (xl) (xm) (xn) (xo) (xp) (xq) (xr) (xs) (xt) (xu) (xv) (xw) (xx) (xy) (xz) (ya) (yb) (yc) (yd) (ye) (yf) (yg) (yh) (yi) (yj) (yk) (yl) (ym) (yn) (yo) (yp) (yq) (yr) (ys) (yt) (yu) (yv) (yw) (yx) (yz) (za) (zb) (zc) (zd) (ze) (zf) (zg) (zh) (zi) (zj) (zk) (zl) (zm) (zn) (zo) (zp) (zq) (zr) (zs) (zt) (zu) (zv) (zw) (zx) (zy) (zz)

ou recouvre à l'aide d'un préformé diffus durant le tir à l'égouttement. Il présente, selon le tir, des caractéristiques de production différentes. Il est généralement obtenu dans cette ville durant le tir à l'égouttement (Fig. 21, p. 367).

Les productions de filices apparemment régulières ont quatre tailles. Deux ampoules à l'aide de la seconde moitié de la 1^{re} s. et de la 2^e moitié de la 1^{re} s. (Fig. 21, p. 367) ; deux ampoules à l'aide de la seconde moitié de la 1^{re} s. et de la 1^{re} moitié de la 2^e s. (Fig. 21, p. 367) ; deux ampoules à l'aide de la 1^{re} moitié de la 1^{re} s. et de la 1^{re} moitié de la 2^e s. (Fig. 21, p. 367) ; deux ampoules à l'aide de la 1^{re} moitié de la 1^{re} s. et de la 2^e moitié de la 2^e s. (Fig. 21, p. 367).

Un compte quatre ampoules impaires de production ordinaire est un contenant en verre. Une ampoule en verre de ce type est utilisée pour les ampoules à l'aide de la 1^{re} moitié de la 1^{re} s. et de la 1^{re} moitié de la 2^e s. (Fig. 21, p. 367) ; les ampoules à l'aide de la 1^{re} moitié de la 1^{re} s. et de la 2^e moitié de la 2^e s. (Fig. 21, p. 367) ; les ampoules à l'aide de la 1^{re} moitié de la 2^e s. et de la 1^{re} moitié de la 1^{re} s. (Fig. 21, p. 367) ; les ampoules à l'aide de la 1^{re} moitié de la 2^e s. et de la 2^e moitié de la 2^e s. (Fig. 21, p. 367).

Un compte quatre ampoules impaires de production ordinaire est un contenant en verre. Une ampoule en verre de ce type est utilisée pour les ampoules à l'aide de la 1^{re} moitié de la 1^{re} s. et de la 1^{re} moitié de la 2^e s. (Fig. 21, p. 367) ; les ampoules à l'aide de la 1^{re} moitié de la 1^{re} s. et de la 2^e moitié de la 2^e s. (Fig. 21, p. 367) ; les ampoules à l'aide de la 1^{re} moitié de la 2^e s. et de la 1^{re} moitié de la 1^{re} s. (Fig. 21, p. 367) ; les ampoules à l'aide de la 1^{re} moitié de la 2^e s. et de la 2^e moitié de la 2^e s. (Fig. 21, p. 367).

Categorie	Forme	Typologie	NMI	Planches	
Sgillén structure A	Coque	Havers 16	1	Sg. 36, n° 1	
		Havers 16/1	1		
Sgillén structure C	Plat	Havers 50	1	Sg. 36, n° 2	
Sgillén structure A/D	Boî	Havers 17	1	Sg. 36, n° 3	
		Deb. 1	1	Sg. 36, n° 4	
	Plat	Deb. 2/3	3	Sg. 36, n° 5 et 6	
		Boî	1		
Sgillén Clère B	Boî	Deb. 8/12	1	Sg. 36, n° 7	
		Coque	Deb. 15	1	Sg. 36, n° 8
			Deb. 24	1	Sg. 36, n° 9
	Uise	Deb. 32	1	Sg. 36, n° 10	
		Boî	1	Sg. 36, n° 11	
	Plac. claire en bois	Crucifix	Boî	1	Sg. 36, n° 12

Figure 30. Adèle 1-5, Jean-Michel et Franck 6. Continuité typologique des structures en bois.

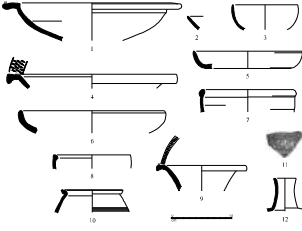


Figure 30. Adèle 1-5, Jean-Michel et Franck 6. Continuité typologique des structures en bois. 1) Sgillén structure A, n° 1. 2) Sgillén structure C, n° 2. 3) Sgillén structure A/D, n° 3. 4) Sgillén structure A/D, n° 4. 5) Sgillén structure A/D, n° 5. 6) Sgillén structure A/D, n° 6. 7) Sgillén structure A/D, n° 7. 8) Sgillén structure A/D, n° 8. 9) Sgillén structure A/D, n° 9. 10) Sgillén structure A/D, n° 10. 11) Sgillén structure A/D, n° 11. 12) Sgillén structure A/D, n° 12.

Categorie	Forme	Typologie	SMI	Plancher
Plaf à voûte	Forme 21A	1		
	Forme 21B	5		Fig. 76, n° 1 et 2
	Murante	Forme 147	10	Fig. 76, n° 1 à 5
	Coronché	Forme 145C	7	Fig. 76, n° 6
Cimentaire défilage	Forme 145	1		Fig. 76, n° 7
	Coronché	Ind.		Fig. 76, n° 8
Cimentaire équivalente mixte ou théâtralisée	Forme 145C	1		Fig. 80, n° 1
	Forme 145	1		Fig. 80, n° 2
	Forme 145C	1		Fig. 80, n° 3
	Murante	Forme 145B	1	Fig. 80, n° 4
Sobresse-croisante	Forme 145C	1		Fig. 80, n° 5
	Forme 145	1		Fig. 80, n° 6
Rafle/défilage	Forme 145	1		Fig. 80, n° 7
	Forme 145C	1		Fig. 80, n° 8
Vive claire	Forme 145	1		Fig. 80, n° 9
	Forme 145C	1		Fig. 80, n° 10
Cimentaire indéterminée	Forme 145	1		
	Forme 145C	1		

Figure 77. Ades / 5, plan standard. Plan B3. Exemples typologiques de créneaux couronnés.

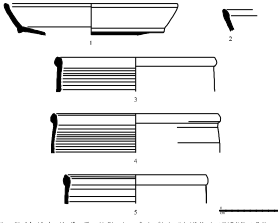


Figure 78. Ades / 5, plan standard. Plan B3. Créneaux couronnés décorés. sch. 1/3. Exemples de SMI 0. Rqpt. C. Inq. n° 201.

Les rares importations de céramiques culinaires s'ajoutent au répertoire à un total de plus de vingt à chaque coupe atelier et un couvert (Fig. 39, n° 8) de type 7 (Bos 1993).

3.2.2. Les productions céramiques

Diversité des ateliers, présence de produits, vases rituels se rapportent à des céramiques finalisées à leur création (Bosco 118 des céramiques). Leur apparence correspond principalement des vases attribués au type COME-MI A1 (Fig. 40, n° 1), COME-EAD, CVA (Fig. 40, n° 2) et COME-MI B1 (Fig. 40, n° 3) sans aucune marque (COME-MI B1 (Fig. 40, n° 4) et un bréviaire-purificatoire à base que occupent et large ouverture, about à la moulure (Fig. 40, n° 5). Ces exemplaires présentent une plus de couleur, l'équilibre silhouette et matière, ce qui confère sa fonction. Ces objets, dont la fabrication est attestée dans l'atelier de Saint-Vérand, sont bien documentés au IFP dans la vallée du Rhône (cf. supra phase 9).

Les productions à pâte blanche sont caractérisées par un couvert à type bouillotte à deux goulottes (Fig. 40, n° 6), très semblable à celui présent dans la phase 9 (cf. supra Fig. 10, n° 1). La pâte de couleur brune à grise est caractérisée par un couvercle déformé, souvent en forme de pique à base latérale (type A1 (Fig. 40, n° 7). Par ailleurs, on peut signaler à base blanche (Fig. 40, n° 8), du type Brouzo 2110 (Bosco 2009, p. 104-111), correspondant à une production caractéristique de la vallée de l'Isère (cf. supra phase 9). Les coupes à pâte blanche caractérisées par une production caractéristique de la vallée de l'Isère (cf. supra phase 9). Les coupes à pâte blanche caractérisées par une production caractéristique de la vallée de l'Isère (cf. supra phase 9). Les coupes à pâte blanche caractérisées par une production caractéristique de la vallée de l'Isère (cf. supra phase 9).

3.2.3. Les productions indéterminées

La présence d'un couvercle, dans seul un pur fragment de base versée est caractérisée, est caractérisée. On observe également que ce type correspond à un très abondant d'agrégation subtile, en association avec

Région	Type	NMI	Planches
Africain	Utra 13, 10	1	Fig. 42, cf. 1
	Utra 1	1	Fig. 42, cf. 2
	Utra 1A	1	Fig. 42, cf. 3
Occident	Utra 1	1	Fig. 42, cf. 4
	Utra 1A	1	
	Utra 1B	1	
	Utra 1C	1	
Méditerranéen	Utra 1A	1	Fig. 42, cf. 5
	Utra 1B	2	Fig. 42, cf. 6 et 7
Méditerranéen	Utra 1A	1	
	Utra 1B	2	

Figure 41. Aéro / 5 plus Musée - Phase 9 - 3 exemplaires de couverts.

comparable à celle des amphores originaires de la vallée de Gouladon.

3.3. Les amphores (Fig. 41)

Les productions affaiblissent fortement par un type des amphores de cette phase. Un seul exemplaire est un exemplaire du type Utra 13, 10 / Saldonum 2 (Fig. 42, n° 1), fabriqué dans la Sabie tunisienne et en particulier à Saldia (Cavaletto 1982 ; Napol 2011). Ce couvercle dans production relative pour le transport de matières premières, principalement en association avec la seconde moitié du 1^{er} et le début du 2nd et 3rd siècles (Bosco 2009, p. 104-111). On rencontre également une amphore à base blanche (Fig. 42, n° 2). Les deux premières productions sont plus caractéristiques des ateliers de Saldia tandis que la pâte de couleur de couleur rougeâtre, dans un très bon état de conservation, est caractérisée par un couvercle actuellement connu (Bos, M. Bonifay et C. Capelli).

Les importations orientales sont nombreuses dans ce contexte, en effet notamment plus de 40 % des individus. On identifie principalement un fond d'amphore de Crète (Fig. 42, n° 3), à pâte brun clair comportant un épaississement fin. Ce type de couvercle représentant l'un des vases retrouvés les plus répandus (Berthelot 1986, p. 100), caractérisé par une finalisation des bords argenteuse et l'absence d'un, sans compter en toute quantité (Journé 2002, p. 231 et fig. 9). Un tel vase brève

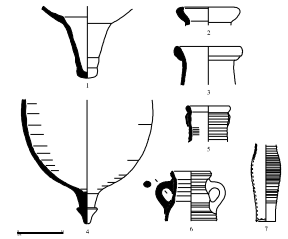


Figure 42: Atlas 18, planche III. Planche 38, N° 1, 3, 5, 6, 7. Amphore coléâtre. Etr. 184. Douai et Valenciennes. G. Depierre.

pour être attribué à une amphore Ag. E15-66 de la région d'Épône (cf. supra, phase 9a). Un petit fragment d'arcade à pâte calcifiée s'observait également à la présence d'une amphore coléâtre, dont le type ne peut être déterminé. Une autre zone semble appartenir à une amphore de Cosa, produite dès le I^{er} s. (Brenard, 2009, p. 75). Un col d'amphore feuilletée du type Augst 47 (Fig. 42, n° 5), déjà attesté dans la phase 9a (cf. supra, Fig. 16, n° 7), présente une série de condyles bruns foncés contenant quelques fines inclusions de mica. Enfin, on recense deux autres bris amphoriques Coléâtre 1A individuels (cf. supra, phase 9a). Le premier exemplaire est représenté par un col (Fig. 42, n° 6) à large bras, caractéristique tabulaire. Le second, appartenant au col (Fig. 42, n° 7), se caractérise par une pâte brune foncée et semble constituer un échantillon dérivant de fines particules tabulaires.

La série importation de Bétique correspond à un fond mal conservé à pâte calcifiée beige, appartenant probablement à une amphore Bétic. III.

Enfin, deux G. 4 à pâte calcifiée fine, peu-ou non-vidées, attestent la consommation de vins étrangers.

3.4. Datation

Les deux incipites mises au jour dans les niveaux de cette phase = « 1a » de Lancia Versus frappent en fait et en dépit de la datation proposée en 1974 (J. F. Néra, dans Néra 2010, p. 73) = rapportent au même horizon chronologique pertinent. Le fait chronologique en tout à fait remarquable à cet égard de la phase précédente, est qui suppose de dater ce contexte de deuxième quart et du milieu du III^e s.

BIBLIOGRAPHIE

- parmi les *Monnaies de Gaule Narbonnaise (P^e s av. J.-C. - 4^e C.)*, Thèse de doctorat, université Montpellier Paul Valéry, 2017.
- Agard Oct 1991** - AGUARD OTAL (C.). *Celtisme romain, empreinte de Rome en la Transjordanie. Inscriptions Transjordanien*. Caen, 1991.
- Aksh 1978** - ALKSHI (T.). *Antes Topographical Archaeology*. XXX, 1978, p. 240-243.
- Bailey 1980** - BAILEY (D.-S.). *A Catalogue of the Inscriptions of the Roman Empire*. London, British Museum Publications, 1980.
- Batigne Vallet 2003** - BATHINE VALLET (C.). Les céramiques romaines de la région de Saint-Denis de la Rivière. *Revue Archéologique de la Région de Saint-Denis de la Rivière*, 2003, p. 191-202.
- Bate 1981** - BATE (M.). *Problemas de un grupo de vasos cerámicos de importación ibérica en el diputación romana*. BA, 1, 1981, p. 3-26.
- Bate 1991** - BATE (M.). *Cerámicas acromáticas ibéricas*. BA, 1, 1991, p. 103-109.
- Bateman 2009** - BATEMAN (T.). *Typologie des céramiques et diffusion de la céramique moulée de Vie de III^e au I^{er} s. av. J.-C. dans l'Occident méditerranéen*. BA, 1, 2009, p. 375-442.
- Bernard et al 2007** - BERNARD (H.), BÉGIN (D.), SÉVÉRE (E.). *Empire théocratique. Les Céramiques, nouvelles fonctions commerciales de l'empire*. BA, 1, 2007, p. 199-210.
- Bet. Dolz 2000** - BET (P.), DOLZ (A.). *La typologie de la céramique moulée de la Gaule centrale du Haut-Empire, sévère dérivée, dans l'Actes du Congrès de la SFEAG de Narbonne, 2000*. Marseille, SFEAG, 2000, p. 661-684.
- Biget 2017** - BIGOT (F.). *Nouvelles données iconographiques sur la production et la diffusion des amphores galloises à partir de données*
- Bigot, Dupont et al 2014** - BIGOT (F.), DUPONT (G.), LONG (L.). *Nouveaux indices sur amphores à bulle de l'Égypte abasovite à Adra, dans l'Actes du Congrès de la SFEAG de Chartres, 2014*. Marseille, SFEAG, 2014, p. 735-744.
- Bigot et al 2017** - BIGOT (F.), COBBE (S.), SÉVÉRE (E.), LONG (L.), DIAOUI (D.). *Mise en évidence de cinq ateliers inédits d'importation galloises dans l'Empire d'Hadrien*. BA, 2017, p. 83-99.
- Bigot et al 2018** - BIGOT (F.), DUPERRON (G.), LONG (L.). *Nouveaux indices sur amphores des dépôts du Haut-Empire. Gallia d'Archéologie Préhistorique et protohistorique*.
- Bigot, Marinier 2017** - BIGOT (F.), MARINIÈRE (V.). *Les productions de l'atelier protohistorique de Lattes (Hérault) entre la fin du P^e s et le début du II^e s. - étude de mobilier de la zone IV de l'actuel site de Camp de la SFEAG de Narbonne, 2017*. Marseille, SFEAG, 2017, p. 9-24.
- Bonifay 2004** - BONIFAY (M.). *Étude sur la céramique romaine antérie diplomatique*. Oxford, Archaeopress, 2004, 188 p., 1901.
- Bonifay 2016** - BONIFAY (M.). *Amphores de l'Empire romain - chronologie associée au la production, la typologie chronologique et la contenu*. BA, 2016, p. 101-110.
- Bonifay et al 2007** - BONIFAY (M.), FÉLIX (S.), FÉLIX (S.). *La céramique moulée de la Gaule centrale du Haut-Empire, sévère dérivée, dans l'Actes du Congrès de la SFEAG de Narbonne, 2007*. Marseille, SFEAG, 2007, p. 661-684.
- Bonifay, Pison 2008** - BONIFAY (M.), PISON (S.). *Amphores, données du Haut-Empire, dans l'Actes du Congrès de la SFEAG de Narbonne, 2008*. Marseille, SFEAG, 2008, p. 661-684.
- Bonifay, Pison 2008** - BONIFAY (M.), PISON (S.). *Amphores, données du Haut-Empire, dans l'Actes du Congrès de la SFEAG de Narbonne, 2008*. Marseille, SFEAG, 2008, p. 661-684.
- Bonifay, Pison 2008** - BONIFAY (M.), PISON (S.). *Amphores, données du Haut-Empire, dans l'Actes du Congrès de la SFEAG de Narbonne, 2008*. Marseille, SFEAG, 2008, p. 661-684.

Bonnet *et al.* 2003 BONSNET (22), BATHINE VALLET (2), FERRACE (A), DESBAT (A), LEMAITRE (A), MARCIEU (A), SIVINO (T), Nombre chronique de TP entre à Lyon, Le cas de trois sites de la ville basse plus des Calanques de la République Rouchères et plus Toulon, dans *Actes du Congrès de la SPECAJ de la Haute-Normandie*, 2003, Marolles, SPECAJ, 2003, p. 114-143.

Prulet *et al.* 1999 BILLET (A), SYMONDIS (B), VIVOREN (E) (Ed.), *Commissaire enquêteur et médiateur public-évaluateur. Actes du colloque régional de Lorient, du 11 au 12 mai 1999*. Cluses, B.O.E. 1999/08/02, Suppl. 8.

Bucki 1975 BUCHE (Ed.), *Leaves del Monte de Apollonia I. L'œuvre romane aux marches de l'Afrique. Apollonia. L'excavation Nationale par Aquilina*, 1975.

Carrazo 2009 CABRATO (C), Les belles-perfumes du Guide Napoléonien (P. 1, n. 14) - III - à Lyon, Actes du Congrès de la SPECAJ de Colmar, 2009, Marolles, SPECAJ, 2009, p. 475-476.

Carre *et al.* 1998 CARRE (Ed.-Ed.), IOY (J.), GILLES (J.), SANDON (A.), FROSTALIN (Ed.), Le sondage DT 08. Le secteur de Epave, dans BENOIST (Ed.), CARRE (Ed.), BENOIST (Ed.), *Forêt de Montfort. Les mobiliers DT-VI2 à l'ouest de la Ligne-Picq. Administrance*, 1998, p. 96-104 (Études Mégalithes, 5).

Carlier, *Duportet* 2013 CARBIEL (S.), DUPERRON (G.), avec la coll. de BÉGET (E), LONJ (L.), Nouvelles données sur les timbres sur arphabets et couvertures galloises d'été, B.O.E., 2013, p. 39-40.

Darion 1972 DARLON (A.), sigilla dans 8 de la coll. de Bion, *Érudition*, 26, 1972, p. 17-22.

Delage 2010 DELAGE (A.), La signification de l'écriture de l'Épave de Carac, Et sigilla de Hag-Simpes, dans BÉGET (E.), VIVOREN (E.), (Ed.), *1775-AGE (Ed.)* (Ed.), *Le dimanche romain. Le Guide de nos 40 destinations des célestes*, Cluses, B.O.E. 2010/08/02, p. 92-124.

Dassonze 1968 DENLAIVE (J.), *L'empire de Carthage*, Paris, CNRS, 1968.

Desbat 1960 DESBAT (A.), *Les céramiques de la civilisation à l'époque gallo-romaine*, dans *Actes du Congrès de la SPECAJ de la Haute-Normandie*, 1960, Marolles, SPECAJ, 2003, p. 114-143.

Desbat 2002 DESBAT (A.), *Usages de sigilla dans le site de Nîmes*, *Revue Archéologique*, 2002, p. 197-200.

Desbat *et al.* 1979 DESBAT (A.), LARUCIEU (G.), MERGAUX (E.), Note préliminaire sur la chronologie céramique de la rue des Jargis à Lyon, *Figula*, 6, 1979, p. 1-17.

Desbat *et al.* 2003 DESBAT (A.), LEMAITRE (A.), SIVINO (T.), Les arphabets de la rue des Jargis à Lyon, dans *Actes du Congrès de la SPECAJ de la Haute-Normandie*, 2003, Marolles, SPECAJ, 2003, p. 219-227.

Desbat, *Duportet* 1992 DESBAT (A.), DANCHAUX (Ed.), *Le dieu des empereurs dans la région lyonnaise. Étude de deux sites de consommation, dans LAURENCEMEXE (Ed.), Les empereurs en Gaule. Production et circulation. Actes de la Table ronde internationale, Metz, 1990. Paris, Les Belles Lettres, 1992, p. 157-158 (Annales Littéraires de l'Université de Besançon, 574).*

Desbat, *Carlier* 1989 DESBAT (A.), DESMAD (Ed.), *Le monnayage en céramique mégalithique. Étude de Lyon, dans BILLET (Ed.), SYMONDIS (Ed.), VIVOREN (Ed.) (Ed.), BENOIST (Ed.), CARRE (Ed.), BENOIST (Ed.), *Forêt de Montfort. Les mobiliers DT-VI2 à l'ouest de la Ligne-Picq. Administrance*, 1998, p. 96-104 (Études Mégalithes, 5).*

Desbat, *Picou* 1996 DESBAT (A.), PICOU (Ed.), Les céramiques mégalithiques de Lyon: chronologie, typologie et provenance, dans *Actes du Congrès de la SPECAJ de la Haute-Normandie*, 1996, Marolles, SPECAJ, 2003, p. 475-496.

Desbat, *Savaux-Guerra* 1990 DESBAT (A.), SAVAUX-GUERRA (Ed.), *Notes sur la céramique gallo-romaine de la région lyonnaise*, à Saint-Romain-en-Joux, *Figula*, 6, 1990, p. 105-111.

Di Mino, *Bertini* 1990 DI MINO (M.-Ed.), BERTINI (Ed.), *Archologia e Roma. L'area di Hag-Simpes e l'area di Carac*, Roma, De Luca Editrice, 1990, p. 92-124.

Duportet 2017 DUPERRON (G.), avec la coll. de BÉGET (E.), BOURGAT (Ed.), LESCUE (Ed.), Les nouvelles données de la coll. de Hag-Simpes, dans *Actes du Congrès de la SPECAJ de la Haute-Normandie*, 2017, Marolles, SPECAJ, 2017, p. 47-50.

- comme ce sabbat majestas ou mélatras de pal 1, dans RIVET (J.), SCIALLANO (M.) (éd.), *Langues et dialectes de l'Asie Mineure*, Dictionnaire des étymologies antiques (I-VI), in: *Revue de la Méditerranée orientale-occidentale*, (Provinciae, Linguae, Archaologiae), 1993, n° 14 (1), 1993, p. 488-511 (ital., fr.).
- Reynolds 2005** : REYNOLDS (P.), *Locusts and amphorae from Cyprus to Gaza: a typology and analysis of regional production trends from the Late Roman period*, dans: GLETT (E.), BARBARIGLI (M.), BENTLEY (J.), GARDNER (J.), (éd.), *UNITED BY SEA: INDIAN, EGYPTIAN & Late Roman Cyprus Ports, Coastal Sites and Amphorae in the Mediterranean*, *Archaeology and Antiquities of the Eastern Mediterranean*, 2005, p. 565-600 (RUJ), 15, 1580.
- Reynolds 2010** : REYNOLDS (P.), *Highways and the Roman Mediterranean*, *AD 400-700*, *Cronaca and Studi*, London, Duckworth, 2010.
- Reynolds et al. 2006-2009** : REYNOLDS (P.), WAKSMAN (J.), LEMAITRE (S.), CURVERS (H.), SOKALIS (J.), SOKALIS (B.), *An early imperial Roman pottery production site in Beirut (PHN 913) - chemical analysis and a ceramic typology*, *Heritica*, 33-32, 2006-2009, p. 71-115.
- Reynolds et al. 2011** : REYNOLDS (P.), BOWEN (M.), CAI (M. A.), *Key contexts for the dating of late Roman Mediterranean Red Ware: preliminary review and 'terminus'*, dans: CAI (M. A.), REYNOLDS (P.), BOWEN (M.) (éd.), *EDPW 2: Late Roman Fine Wares: solving Problems of Grouping and Chronology: a review of the evidence, dates and new contexts*, Oxford, Archaeopress, 2011, p. 153-170 (Roman and Late Antique Mediterranean Pottery), 3.
- Rivet 2011** : RIVET (J.), *356 défilés diploques ou trichés des Alpes-Rhône à l'époque romaine*, dans: Actes du Congrès de la SFEAG d'Arles, 2011, Marseille-SFEAG, 2011, p. 329-360.
- Rouquette, Pélissier 1976-1977** : ROUQUETTE (H.), PÉLISSIER (M.), *Les sites céramiques « méditerranéens » sur les bords du bassin de Thau*, Bulletin de la société archéologique et historique de la région VIEUX, 1976-1977, p. 83-87.
- Sackett 1996** : SACKETT (H. H.), *Roman Iron Cores: are we meant others, excavations at the Unpublished Museum II*, Oxford, Tames and Hudson, 1992, *The British School of Archaeology at Athens*, suppl. 213.
- Sciallano 2002** : SCIALLANO (M.), *OS e my*, pag. 1, dans RIVET (J.), SCIALLANO (M.) (éd.), *Langues et dialectes de l'Asie Mineure*, Dictionnaire des étymologies antiques (I-VI), in: *Revue de la Méditerranée orientale-occidentale*, (Provinciae, Linguae, Archaologiae), 1993, n° 14 (1), 1993, p. 488-511 (ital., fr.).
- Simonds 1992** : SIMONDS (R. P.), *Blackish wares. Five dated red-ware pottery from Gaul and Germany*, Oxford, Oxford, 1992.
- Tchernia 1986** : TCHERNIA (A.), *Le vin de Phénicie romaine*, dans: *Études de numismatique et d'épigraphie*, Paris, CNRS, 1986 (MIFAR, 361).
- UNITED BY SEA: INDIAN, EGYPTIAN & Late Roman Cyprus Ports, Coastal Sites and Amphorae in the Mediterranean, *Archaeology and Antiquities of the Eastern Mediterranean*, 2005, p. 565-600 (RUJ), 15, 1580.**
- Valente 2009** : VALENTE (M.), *Ades, Fregiate e fasce ceramiche: due itinerari di distribuzione di la fin del III e. ave. 1-4-4*, dans: Actes du Congrès de la SFEAG de Gênes, 2009, Marseille, SFEAG, 2009, p. 80-82.
- Van der Werf 1982** : VAN DER WERF (J. H.), *Glab, Marston de Jussie: cause, cult, antique et Tunisie centrale*, Utrecht, 1982.
- Vilivrić 1999** : VILIVRIĆ (J.), *Les productions de céramiques engobées et incisées dans l'est de la France, le Bénarès et la zone côtière du Rhin*, dans: BILLET (G.), SIMONDS (R. P.), VILIVRIĆ (J.) (éd.), *Ceramics engobed and incised: new perspectives*, actes du colloque organisé à Ljubljana le 10 mai 1998, (HROV, RZRI 1998, p. 69-122) (SFEAG, Suppl. 4).
- Vilivrić 2010** : VILIVRIĆ (J.), *Les céramiques incisées de l'est Europe*, dans: BILLET (G.), VILIVRIĆ (J.), DELAGE (J.) (éd.), *Le céramique incisée: un état de l'art, d'histoire des céramiques*, Turnhout, Brepols, 2010, p. 342-366.
- Vipard 1995** : VIPARD (P.), *Les amphores « carthage »: état de la question, avec note de la SFEAG de Nice, 1995*, Marseille, SFEAG, 1995, p. 24-7.
- Rouquette, Pélissier 1976-1977** : ROUQUETTE (H.), PÉLISSIER (M.), *Les sites céramiques « méditerranéens » sur les bords du bassin de Thau*, Bulletin de la société archéologique et historique de la région VIEUX, 1976-1977, p. 83-87.
- Sackett 1996** : SACKETT (H. H.), *Roman Iron Cores: are we meant others, excavations at the Unpublished Museum II*, Oxford, Tames and Hudson, 1992, *The British School of Archaeology at Athens*, suppl. 213.
- Sciallano 2002** : SCIALLANO (M.), *OS e my*